

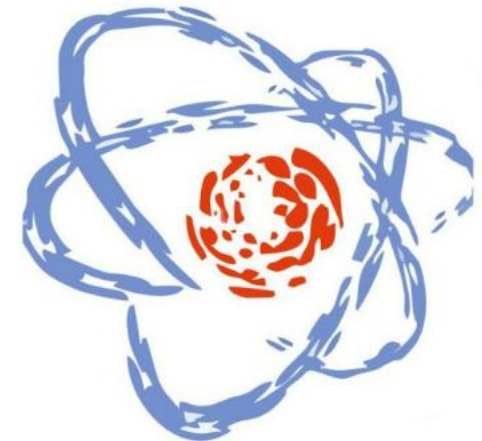


Neural networks in the Baikal-GVD experiment: selection of neutrino events and neutrino energy reconstruction

Matseiko Albert^{1,2}, MIPT, INR RAS

This work was supported by the Russian Science
Foundation grant no. 24-72-10056.

AYSS 2024,
28.10 — 01.11, 2024, Dubna, Russia



Plan

1. **BaikalGVD experiment:**
 - a) structure
 - b) events
 - c) data
2. **Neutrino selection** against the EAS background
3. **Neutrino energy reconstruction**

1. Baikal-GVD



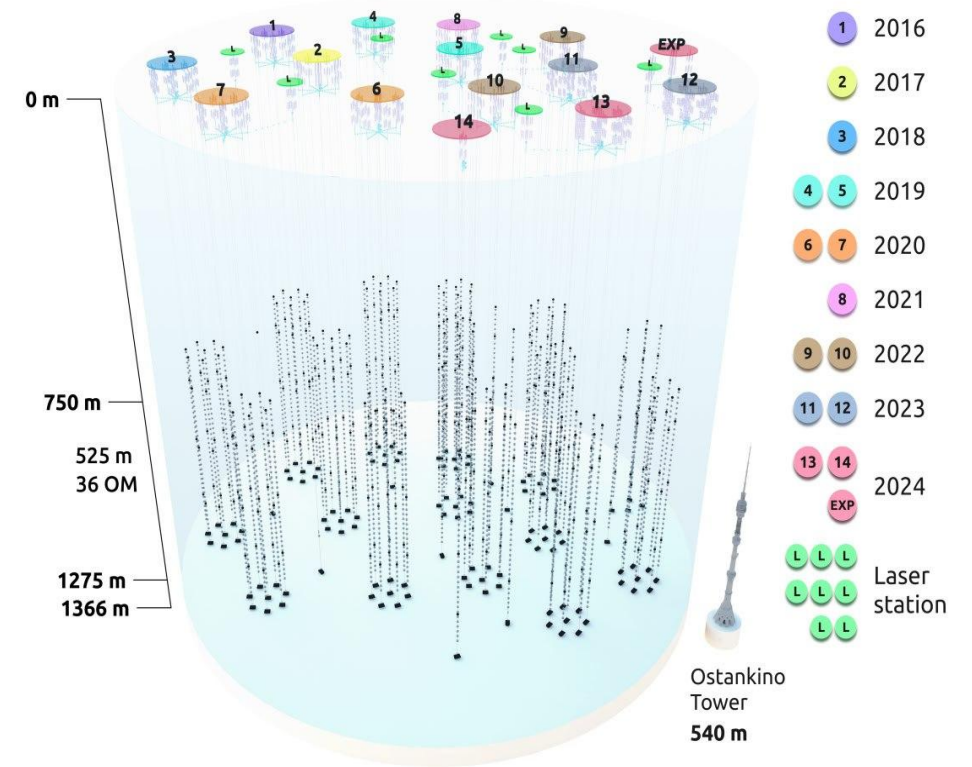
Baikal-GVD

Purposes:

- observe TeV-PeV neutrinos originating from the outside of the Solar System
- investigate their sources

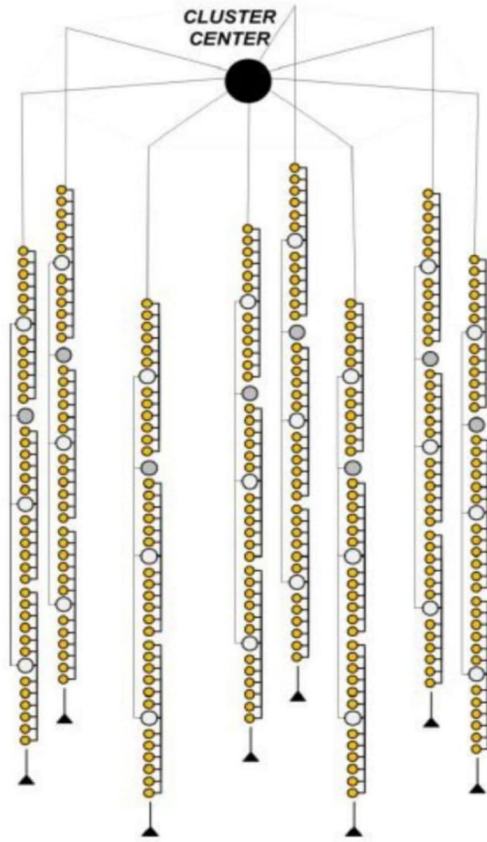


Cluster setup process



13 clusters
are setup by now

Baikal-GVD



8 strings with 36 OM
(optic modules)



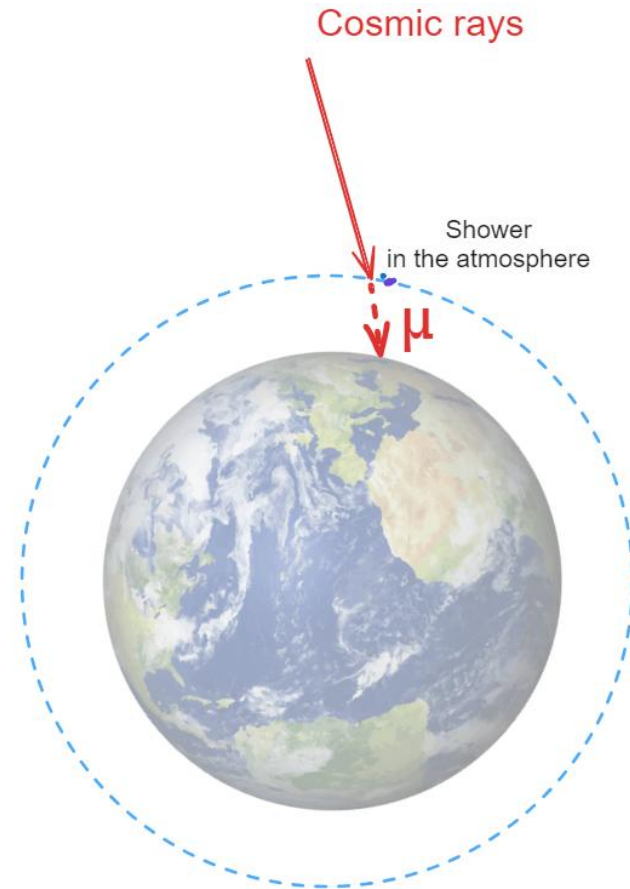
- Detect cherenkov radiation
- Live calibration of OM positions (accuracy ~ 20 cm)
- Accuracy of determining the response time ~ 2 ns.

Events rate per cluster (of all origins):
 $\sim 40-90$ Hz

EAS and ν induced events

1) EAS

- showers from cosmic rays
- mostly muons reach the cluster
- «down-going» events



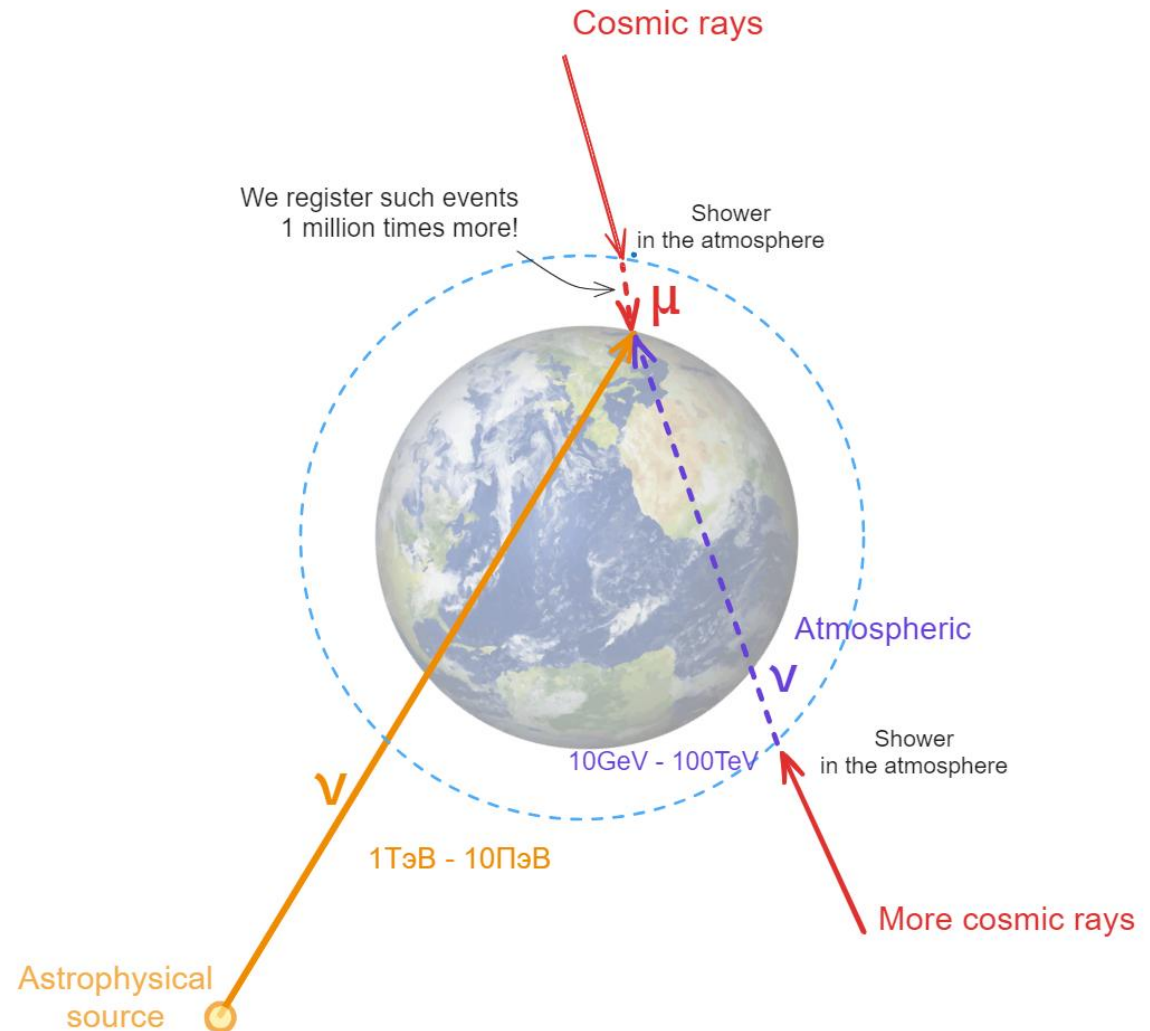
EAS and ν induced events

1) EAS

- showers from cosmic rays
- mostly muons reach the cluster
- «down-going» events

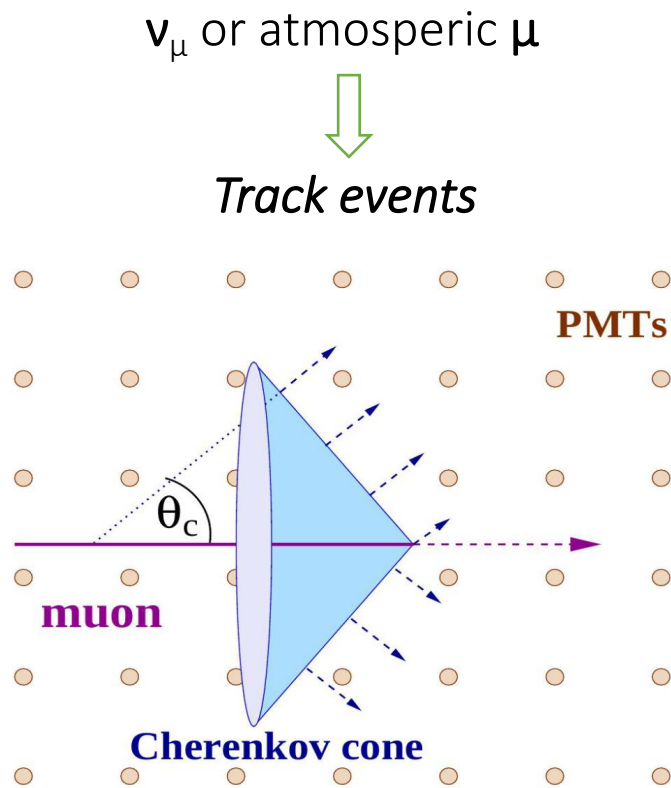
2) Neutrino

- astrophysical or atmospheric
- leptons are born in the cluster
- easily pass the Earth
- > «up-going» events



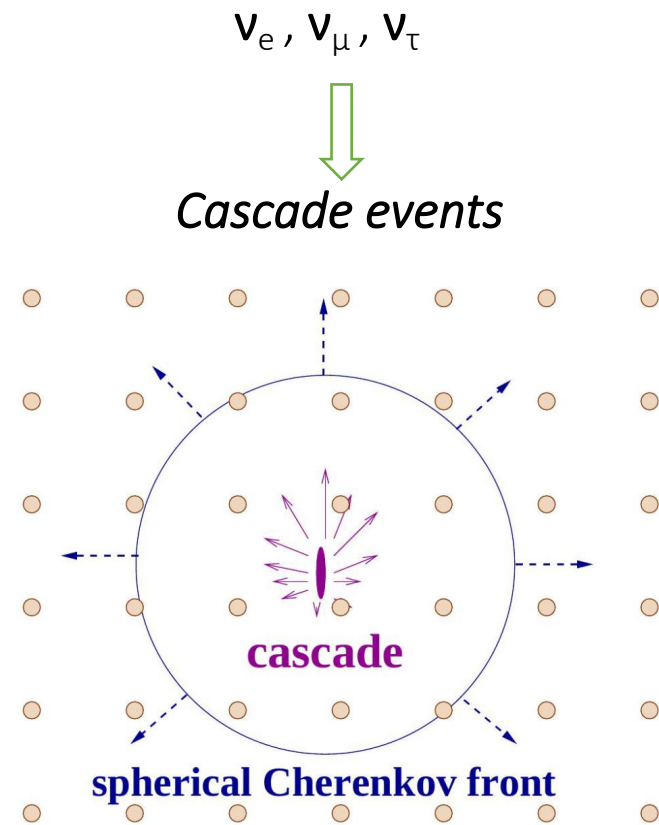
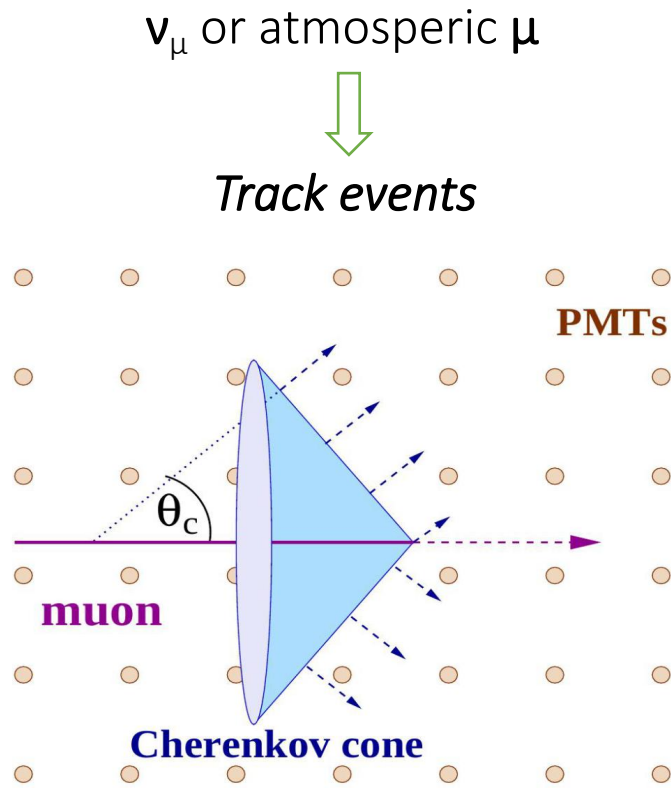
Baikal-GVD

Event options



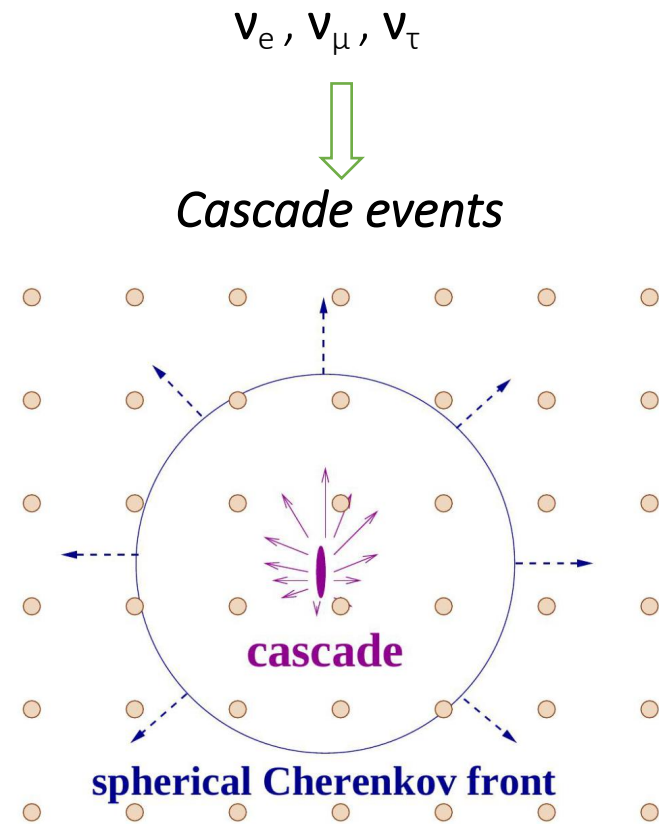
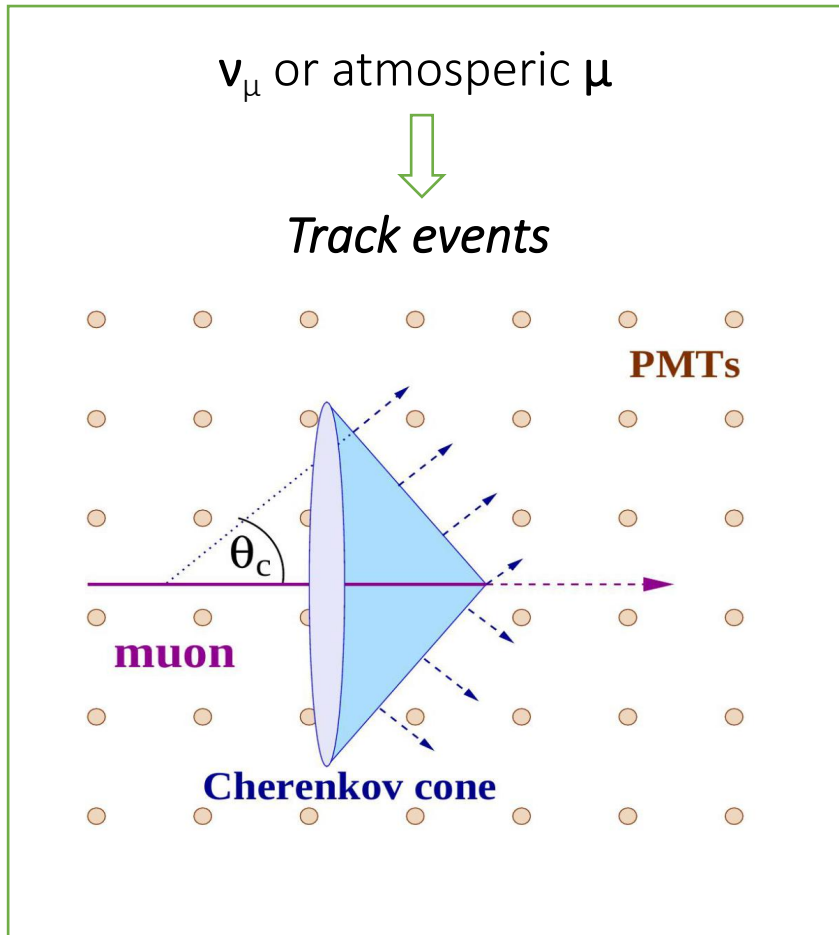
Baikal-GVD

Event options



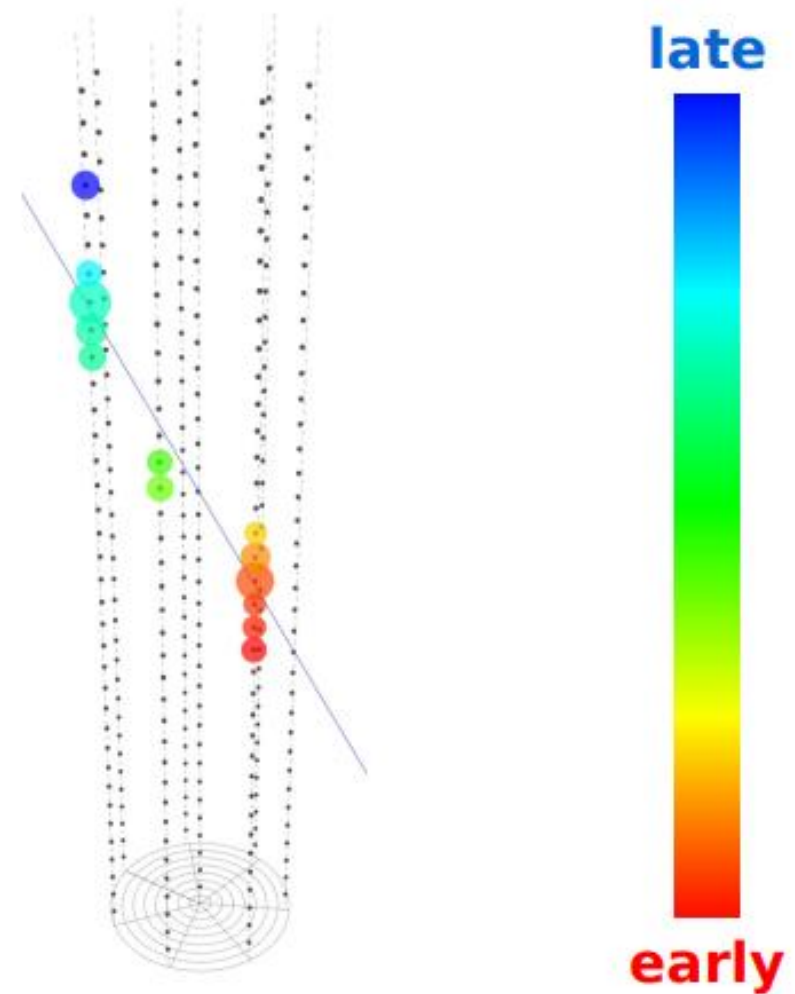
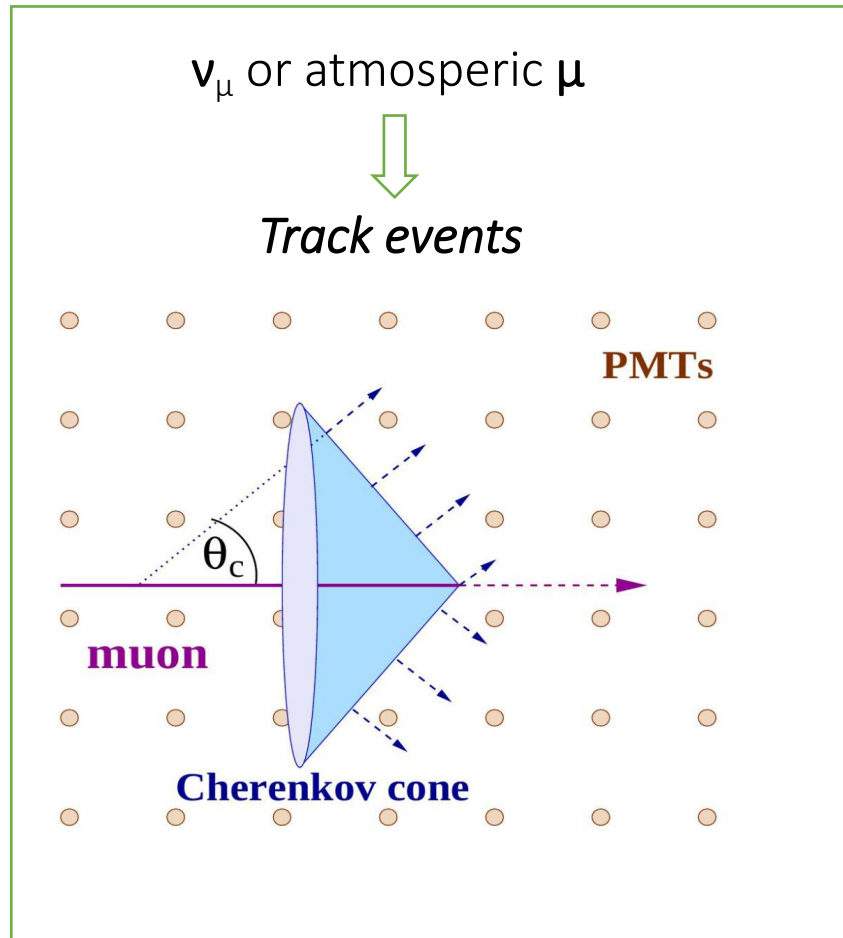
Baikal-GVD

Event options

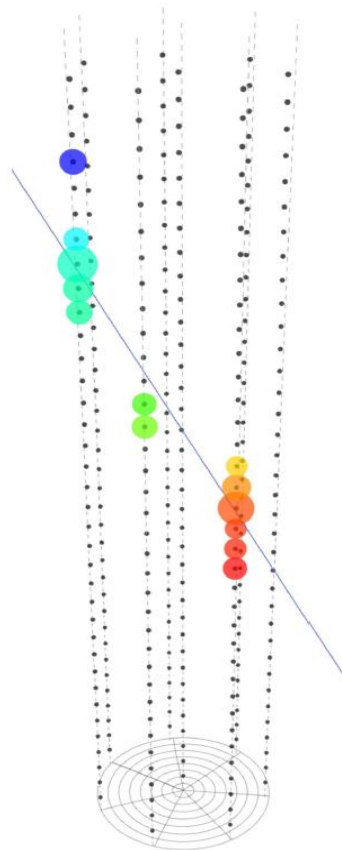


Baikal-GVD

Track event picture



Data representation

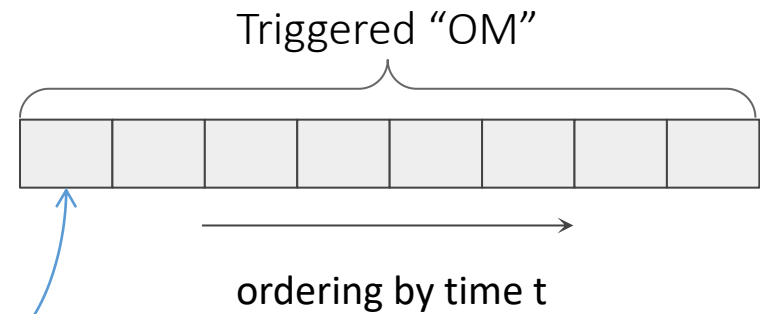


Single cluster

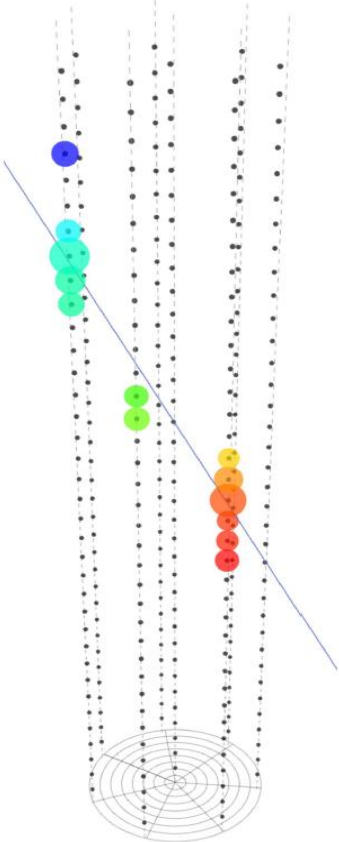


Causal (time-ordered)

1 hit
Q, t, x, y, z



Data representation

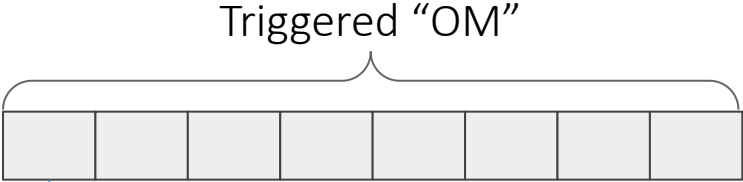


Single cluster



1 hit
Q, t, x, y, z

Causal (time-ordered)



ordering by time t

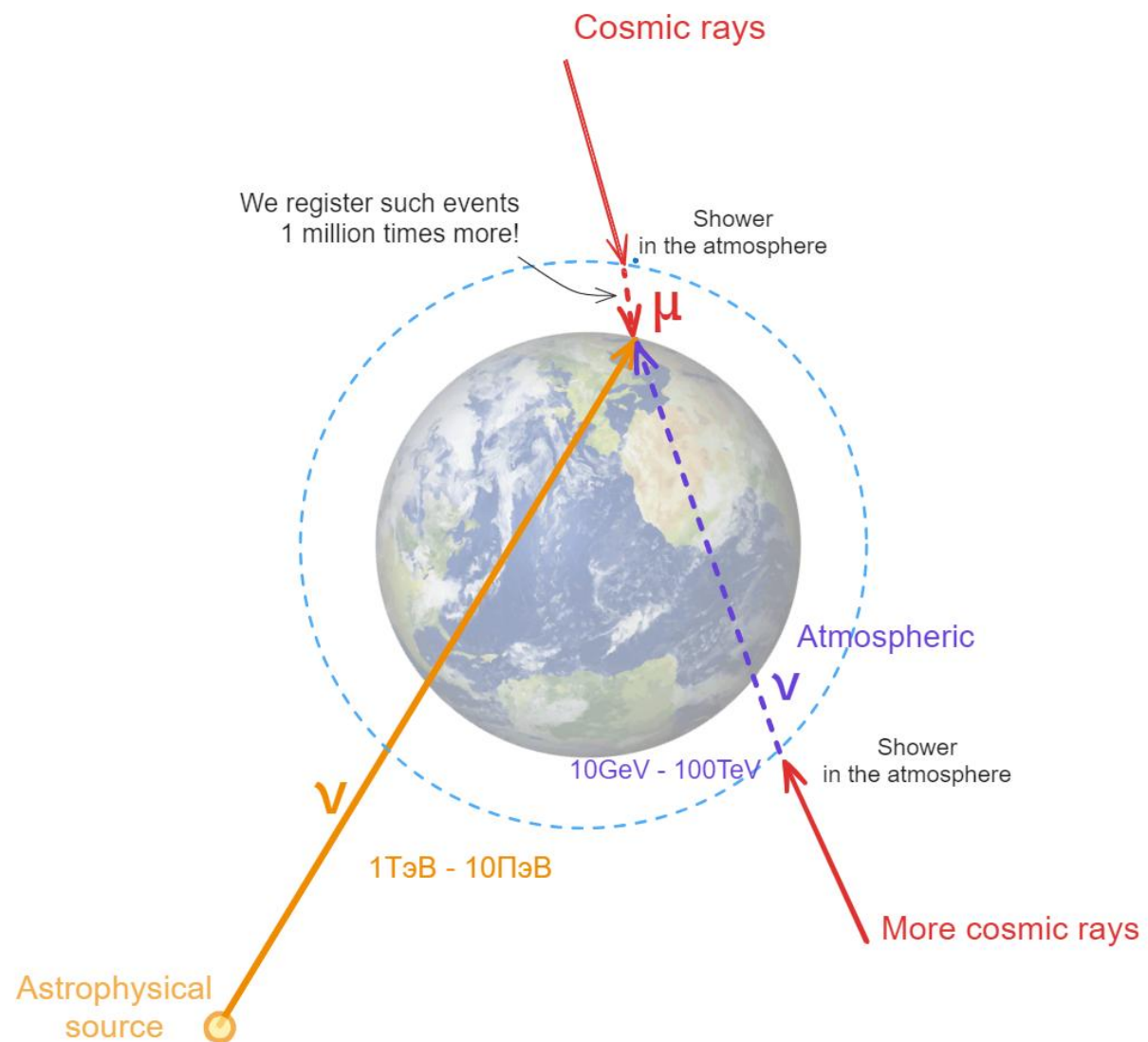
1D convolutions, recurrent networks, transformers



II. Neutrino selection against the EAS background

Motivation

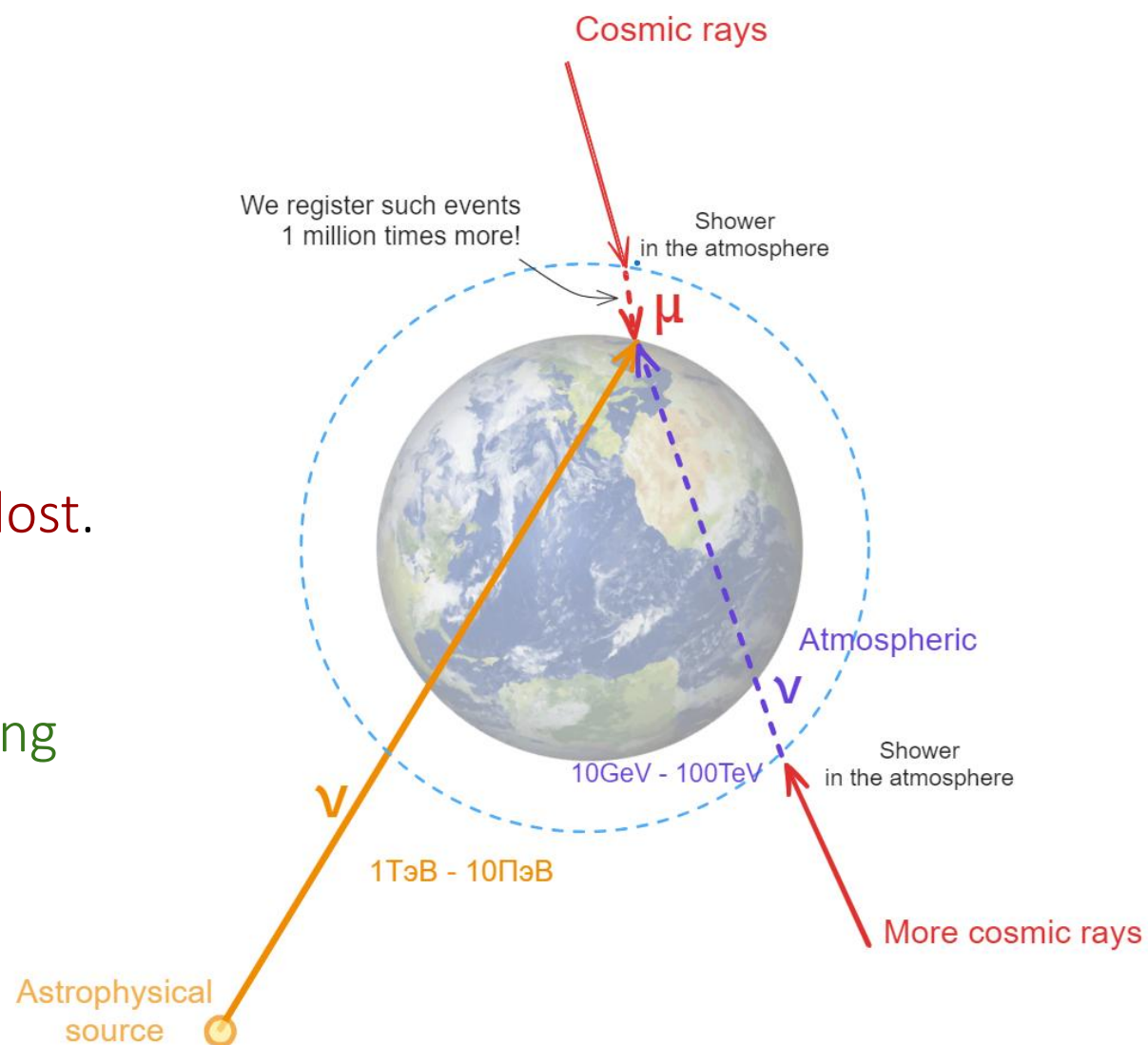
- EAS to ν events ratio = 10^6 - 10^7 .



Motivation

- EAS to ν events ratio = 10^6 - 10^7 .
- Standard approach:
reconstruction of the zenith angle + cut.
Computationally expensive, $\sim 50\%$ ν are lost.

The goal is to achieve better separation using neural networks.



Dataset

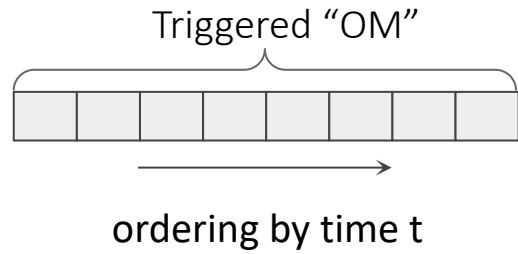
- Using Monte-Carlo simulation^[1]
EAS evolution and propagation of particles in water.

- Track events:
 - 1) Muons from EAS
 - 2) ν_μ (neutrinos of muon flavour)

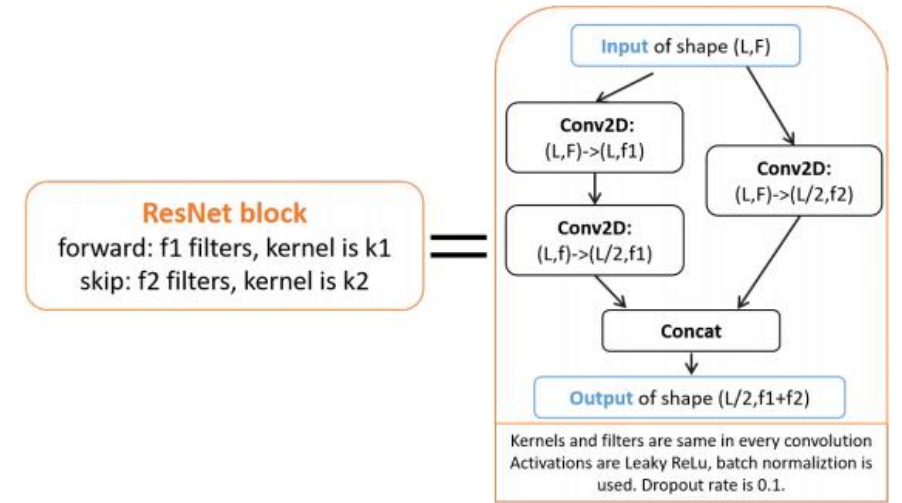
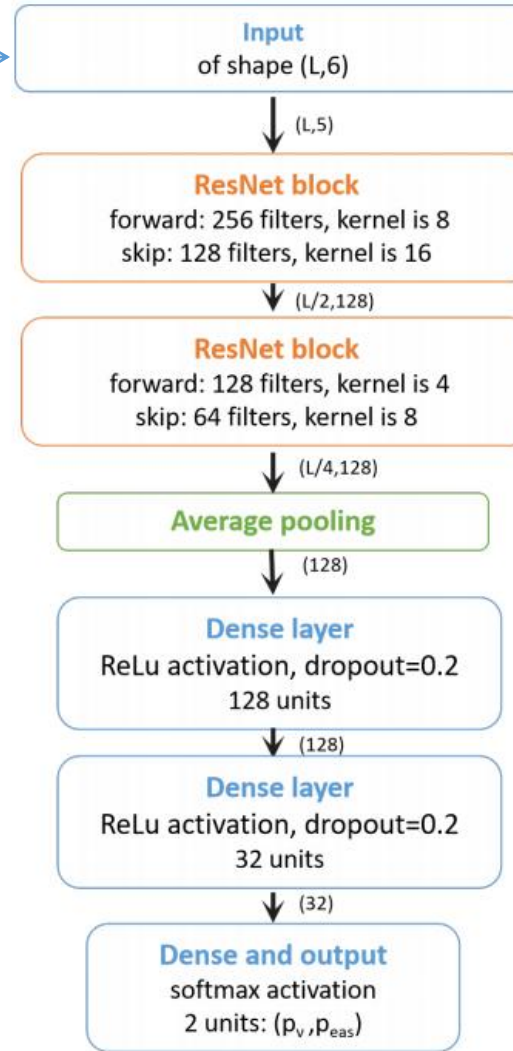
	train	test	validation
EAS	$\approx 3 \cdot 10^6$	$\approx 5 \cdot 10^5$	$\approx 2 \cdot 10^6$
Neutrino	$\approx 6 \cdot 10^5$	$\approx 10^5$	$\approx 1.3 \cdot 10^7$

- Cuts:
 - min 8 signal hits
 - min 2 strings triggered
- Target feature — type of particle
Labels: 0 — EAS, 1 — neutrino

The network



Prediction p_v

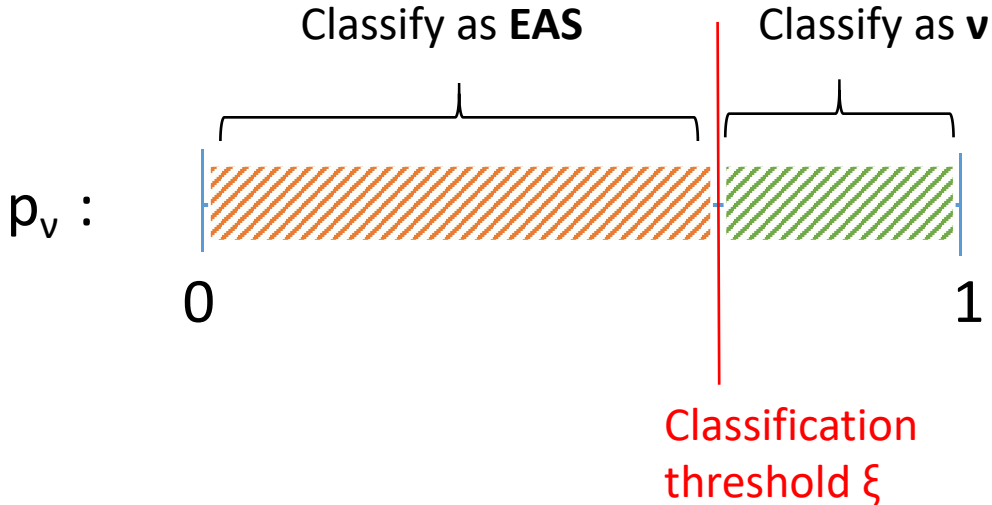


(32)
Dense and output
softmax activation
2 units: (p_v, p_{eas})

The network

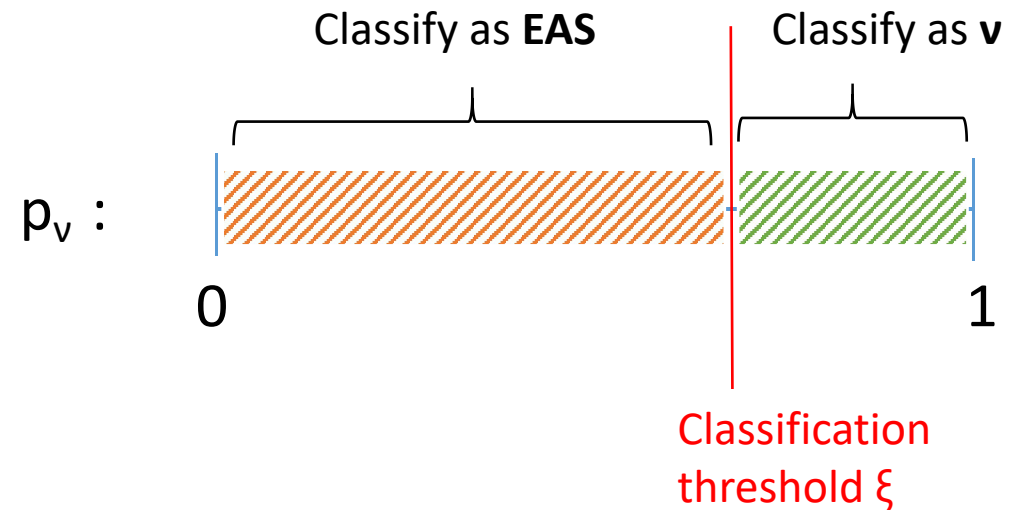
- predictions p_v
--> classification

- threshold ξ is close to 1!



Metrics

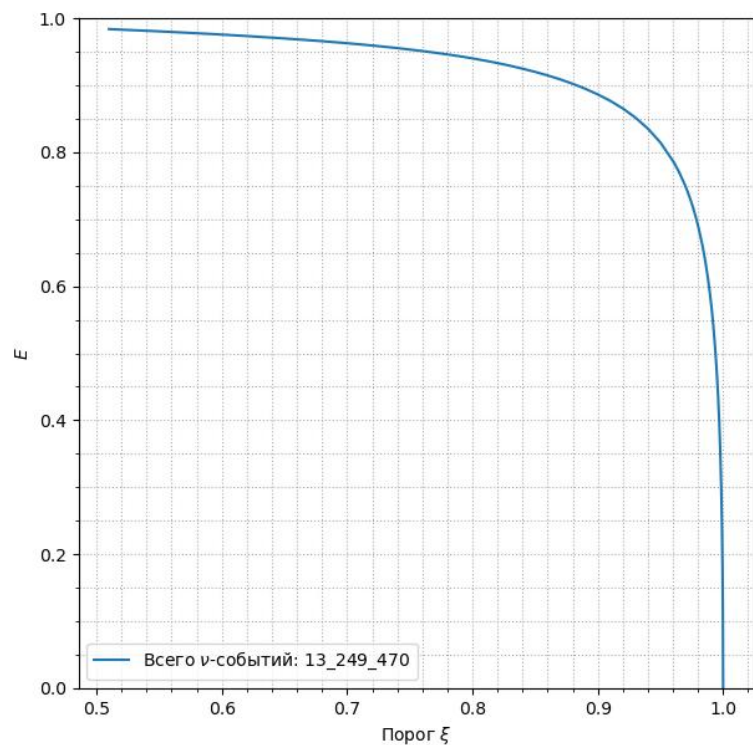
- **Exposition: $E = n_v/N_v$**
fraction of v identified correctly
(True Positive Rate)
- **Suppression: $S = n_{EAS}/N_{EAS}$**
fraction of EASs falsely assigned to v
(False Positive Rate)



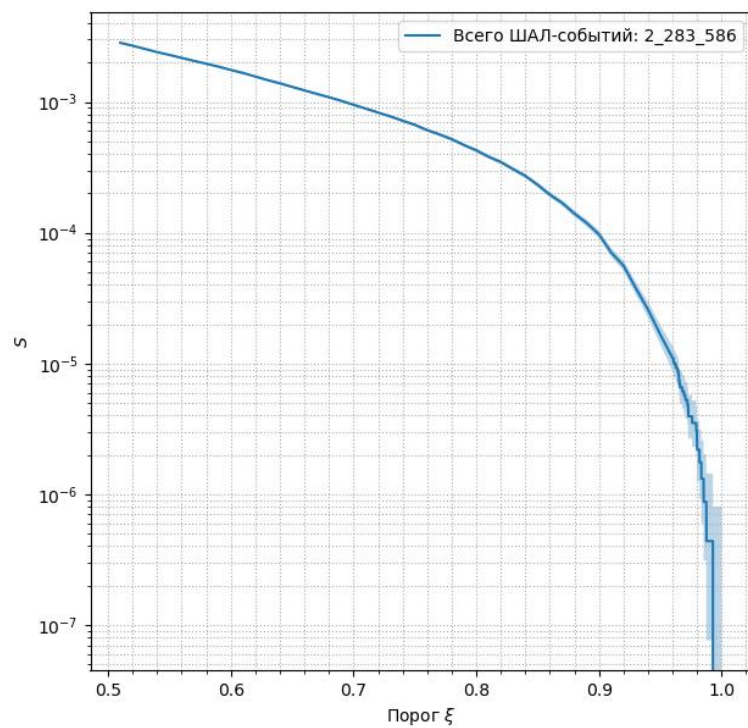
Interested in region, where $S=10^{-6}$

Метрики: весь датасет

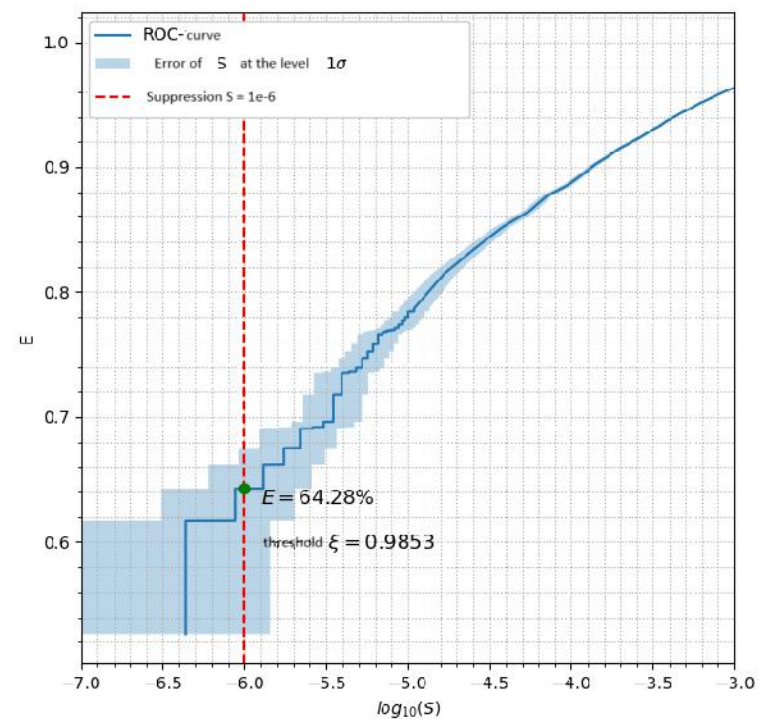
Exposition E



Suppression S



E vs S





III. Neutrino energy reconstruction

Motivation

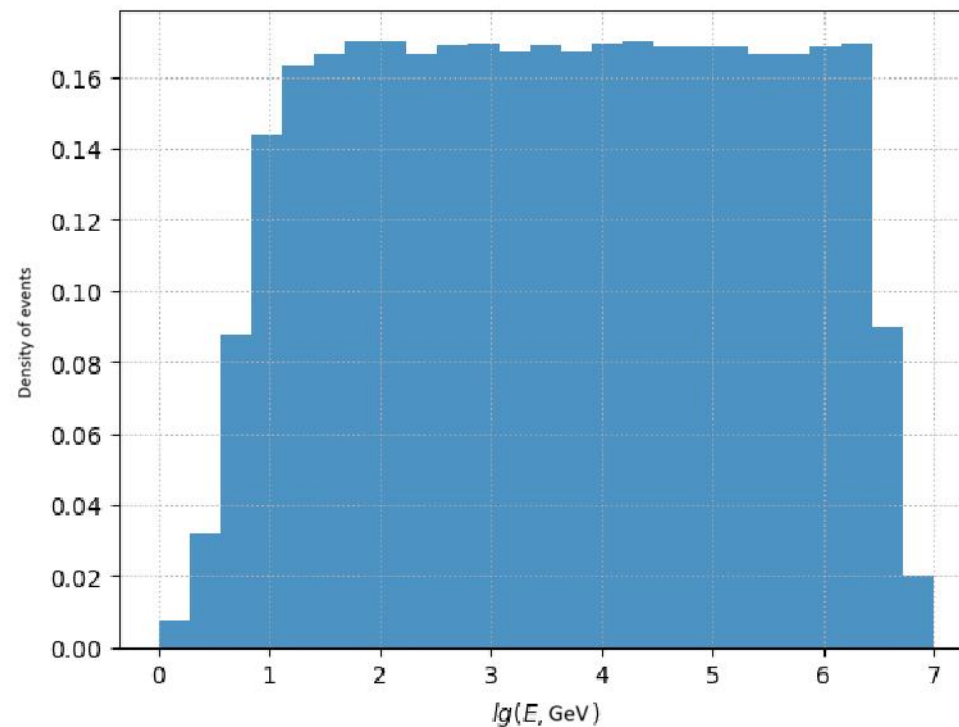
- Energy is an important parameter of a particle: the spectrum of astrophysical neutrinos can tell a lot about the sources
- Current reconstruction error: factor from 3 to 5 for Energy $> 100\text{TeV}$

We want to improve the reconstruction quality using neural networks

Dataset

- Monte-Carlo (again)
- Only ν_μ - track events
We reconstruct the muon's energy E !
since it is a directly observable particle
- Cuts:
 - 1) min 8 hits
 - 2) min 2 strings
- Target feature: $\log_{10}E$
- A uniform spectrum was selected

	train	test	validation
Число ν	$\approx 10^6$	$\approx 10^5$	$\approx 5 \cdot 10^5$



Спектр энергий в датасете

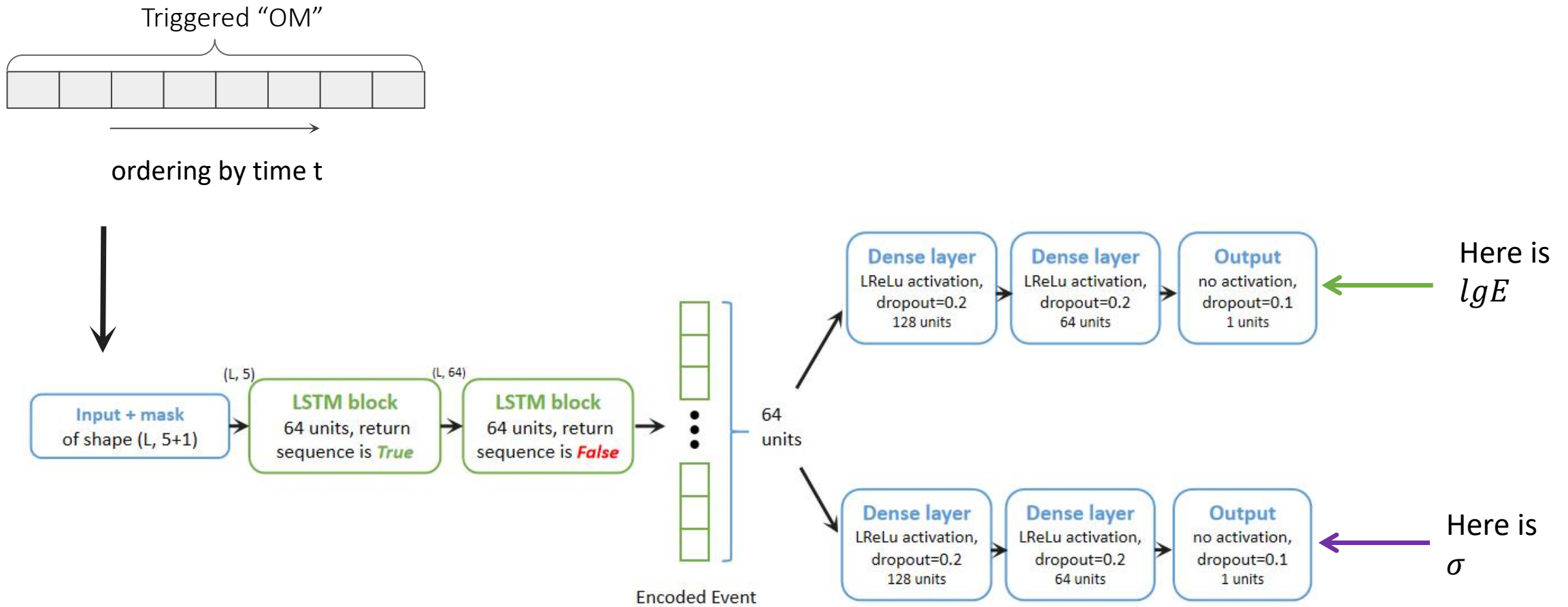
Loss function

- Let's denote: lgE -- true energy, lgE^* -- prediction.
Want our network to predict it's error σ for each event!
- Using special *loss* function:

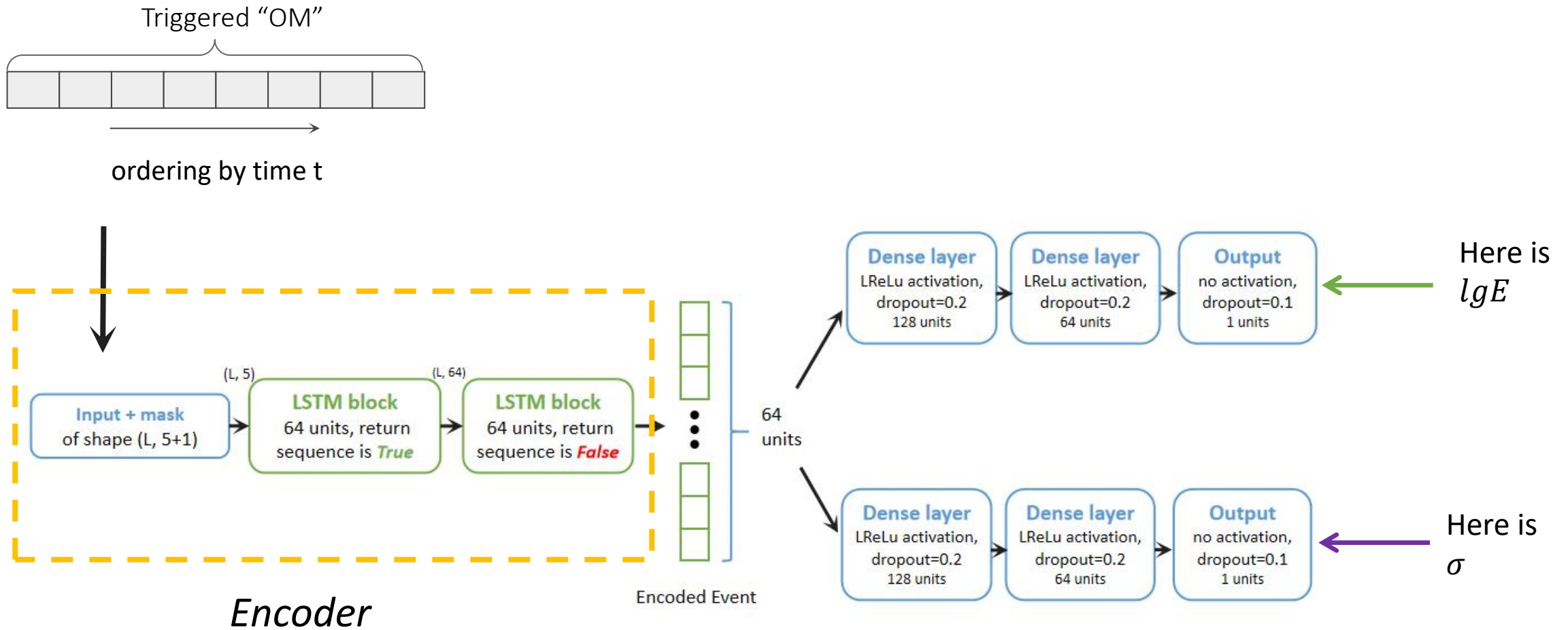
$$loss = \frac{1}{n} \sum_{i=1}^n \left(\ln(\sigma_i^2) + \frac{(lgE_i - lgE_i^*)^2}{\sigma_i^2} \right)$$

Maximizes the likelihood of a hypothesis: $lgE \sim N(lgE^*, \sigma)$.

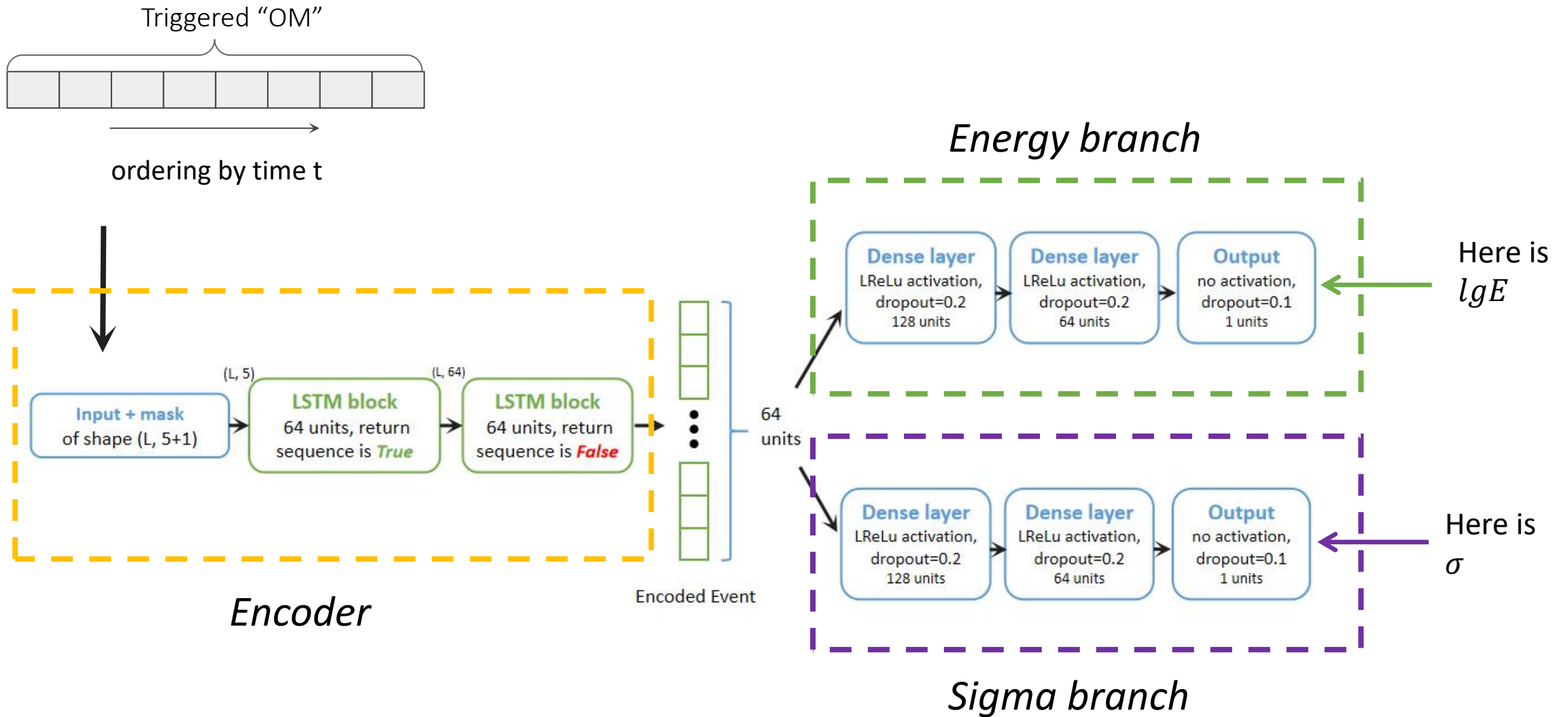
The network



The network

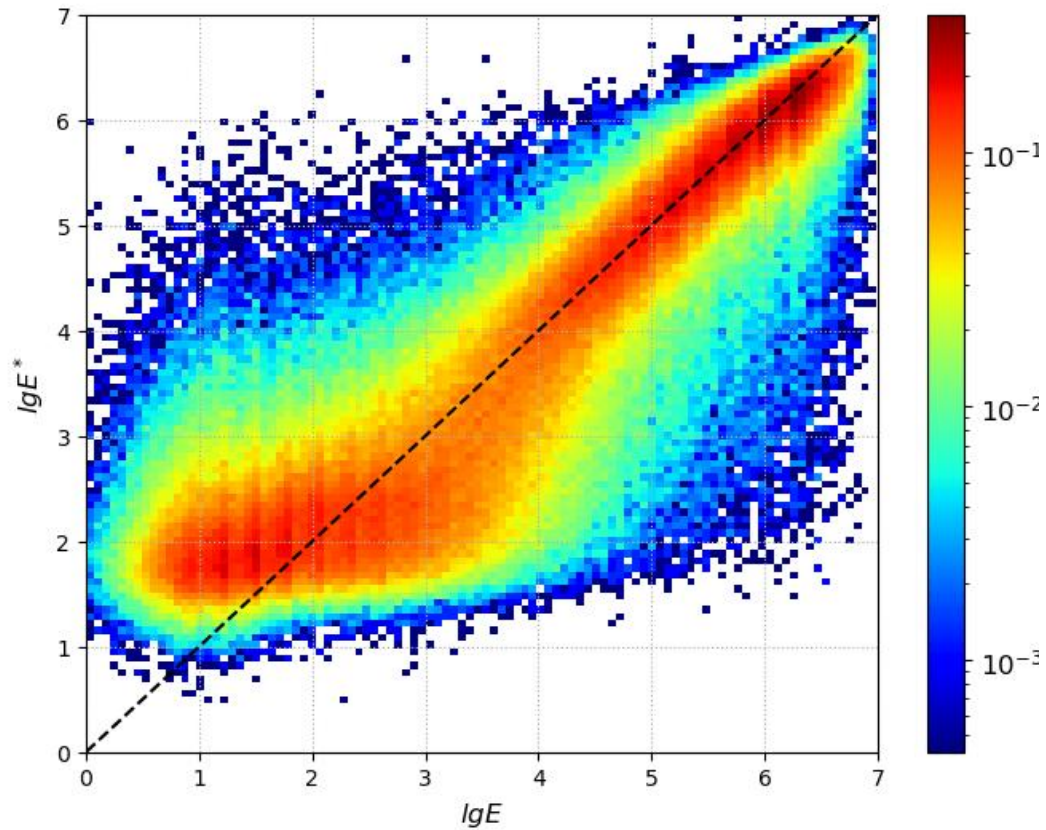


The network

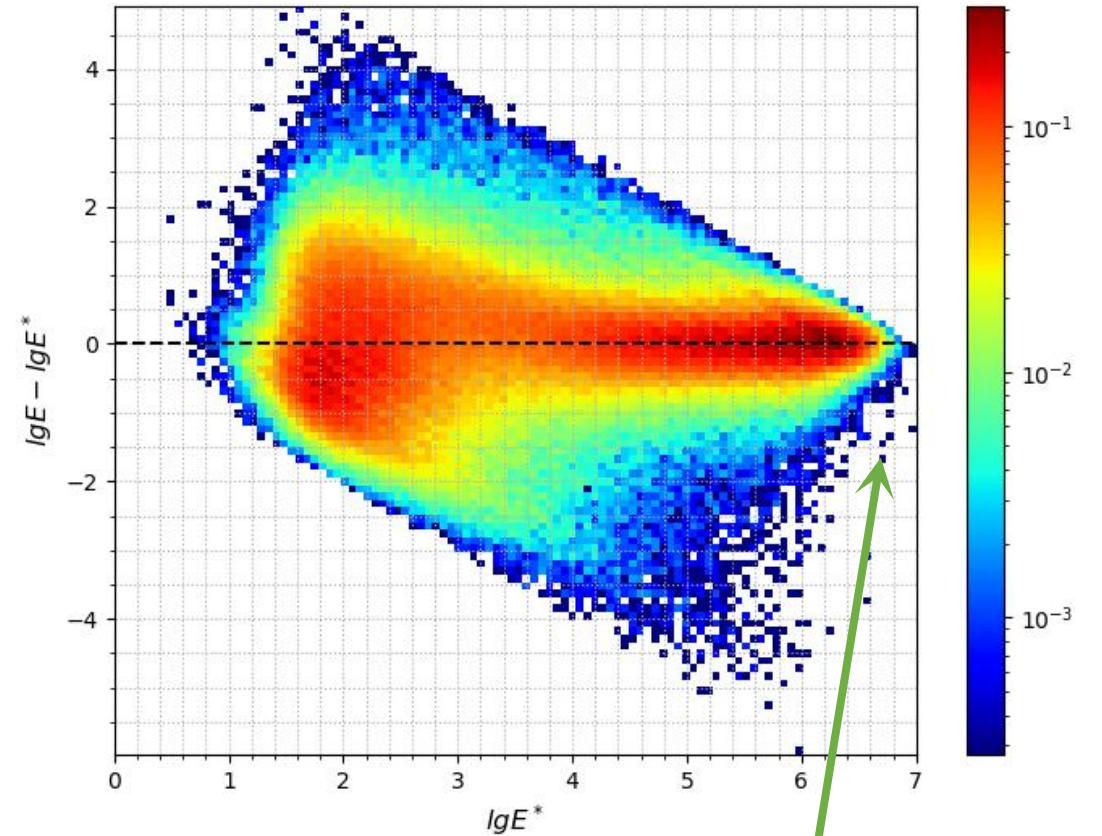


Metrics: energy branch, [E] = [GeV]

$\lg E^*$ and $\lg E$ correspondence



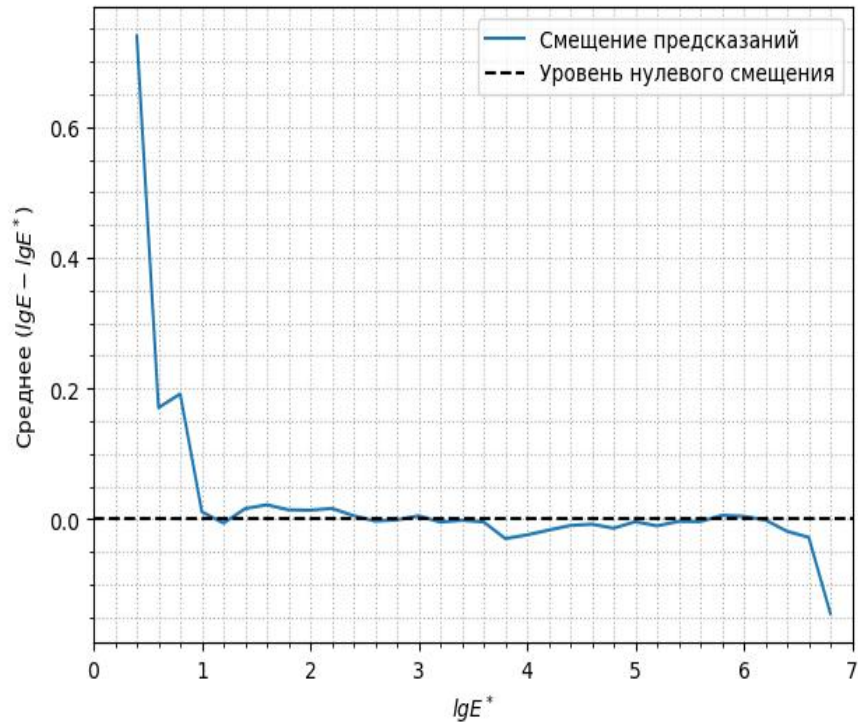
Histogram of $(\lg E - \lg E^*)$



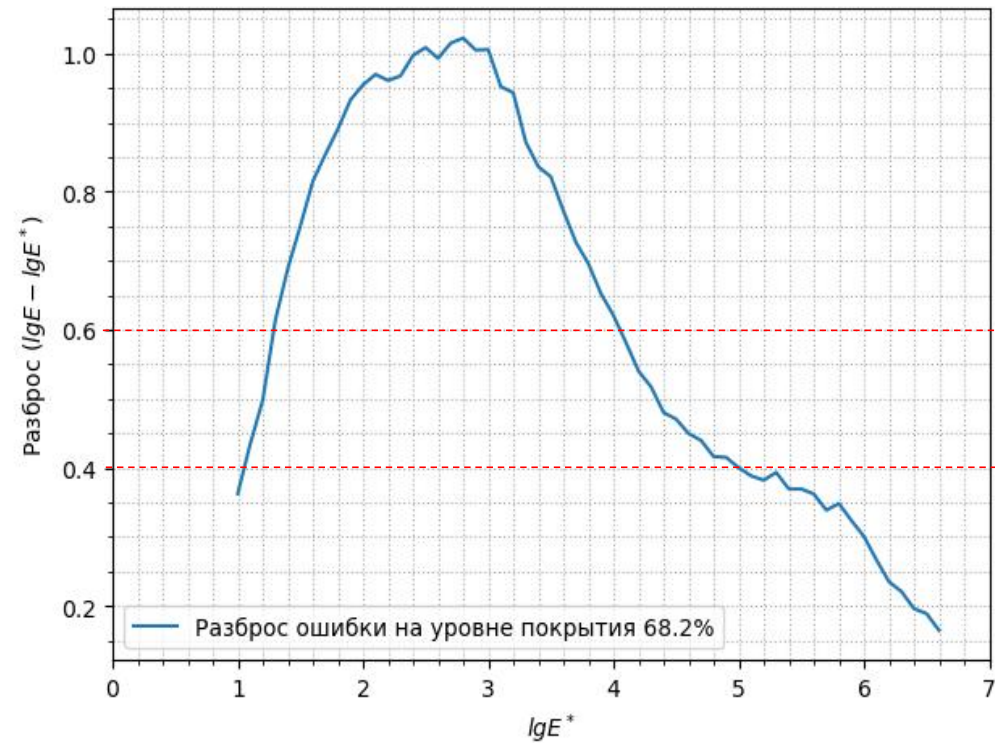
Quality improves with increasing E

Metrics: energy branch, [E] = [GeV]

Mean error ($lgE - lgE^*$)
vs
prediction lgE^*



Width of ($lgE - lgE^*$)
for central percentile 68.2%
vs
prediction lgE^*



Error factor

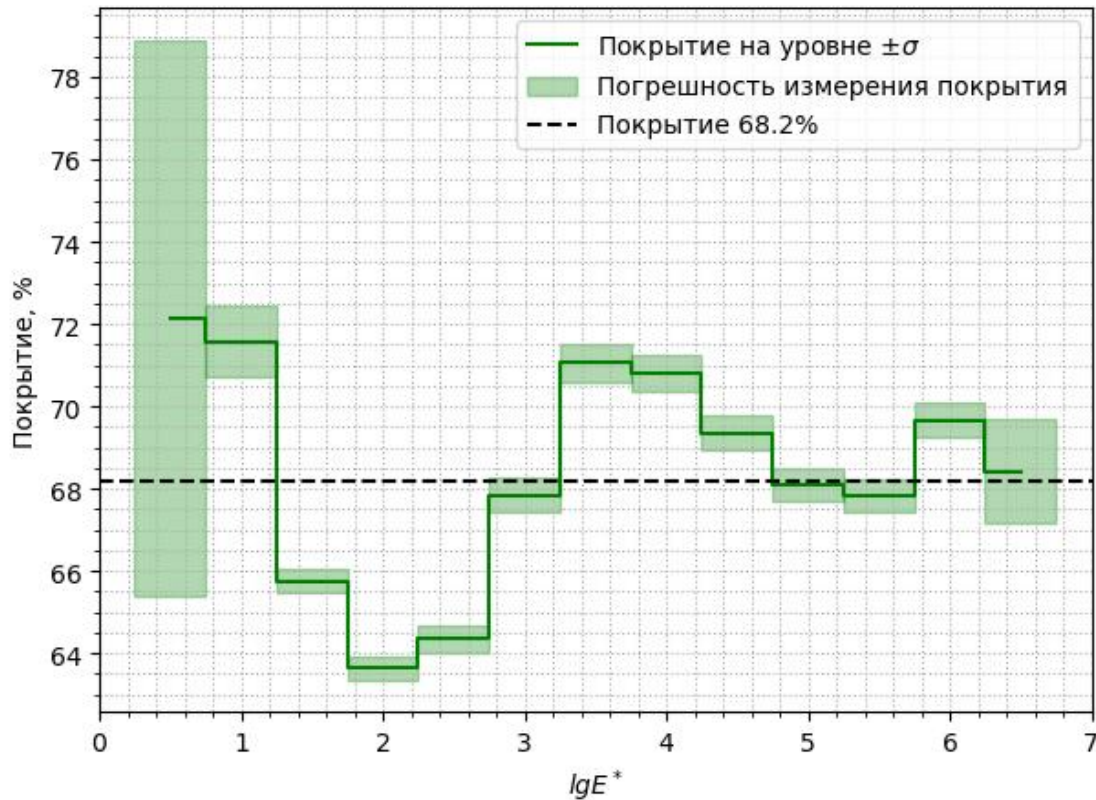
$10^{0.6} \approx 4$ times

$10^{0.4} \approx 2.5$ times

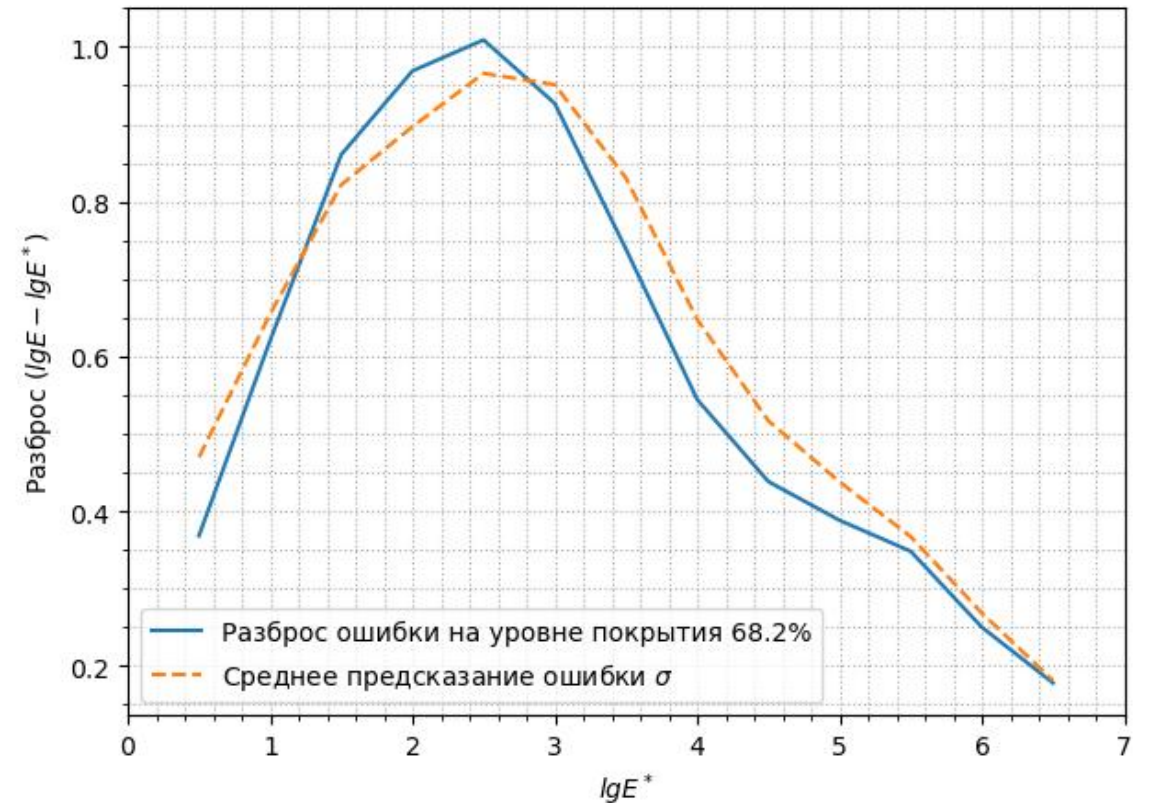
Metrics: error σ branch

σ predicts individually for each event

Interval $(lgE^* - \sigma, lgE^* + \sigma)$ must contain
68.2% of lgE values



Average σ must correspond to
width of 68.2% percentile of real error





IV. Conclusion

- Neural networks helps (evaluated on MC simulation):
 - separate **neutrino events** preserving 60% while suppressing **EAS background by 10^6 times**
 - **reconstruct the energy** of tracks with an error factor of 4 and below for predictions **>10 TeV**
--> it is proposed to discard predictions < 10 TeV as unreliable.
 - individually for each event, **estimate the energy prediction error** at the level of 1 standard deviation (coverage from 64% to 72%)
- Future plans:
 - further improvement of neural networks, training on a larger MC
 - evaluation of the quality of predictions on real data
 - implementation of the developed models in the BARS telescope data analysis package



Thanks!

Contacts:

matseiko.av@phystech.su

t.me/AlbertMac280

Code and models:

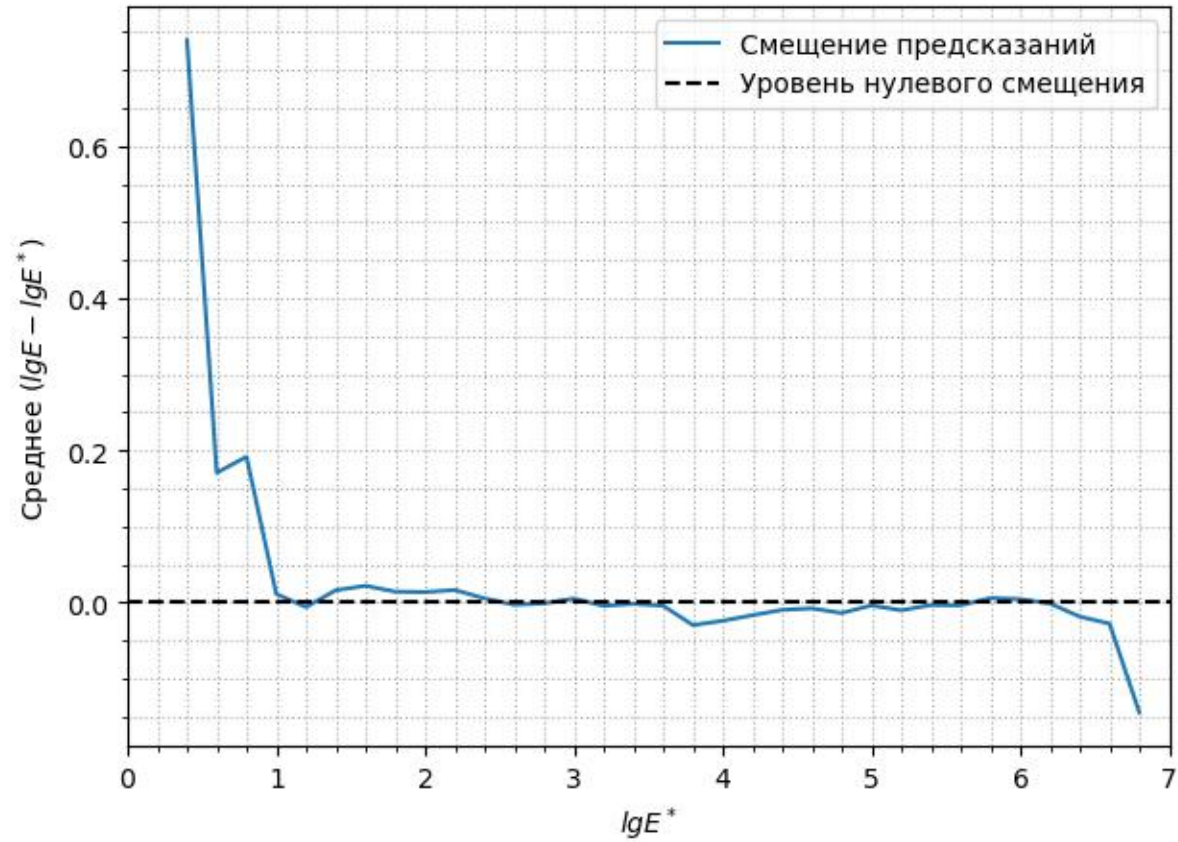
github.com/ml-inr/Baikal-ML

github.com/AlbertMatseiko/

- NeutrinoSelection
- NuEnergy

Backup

More energy slides



Metrics: σ branch

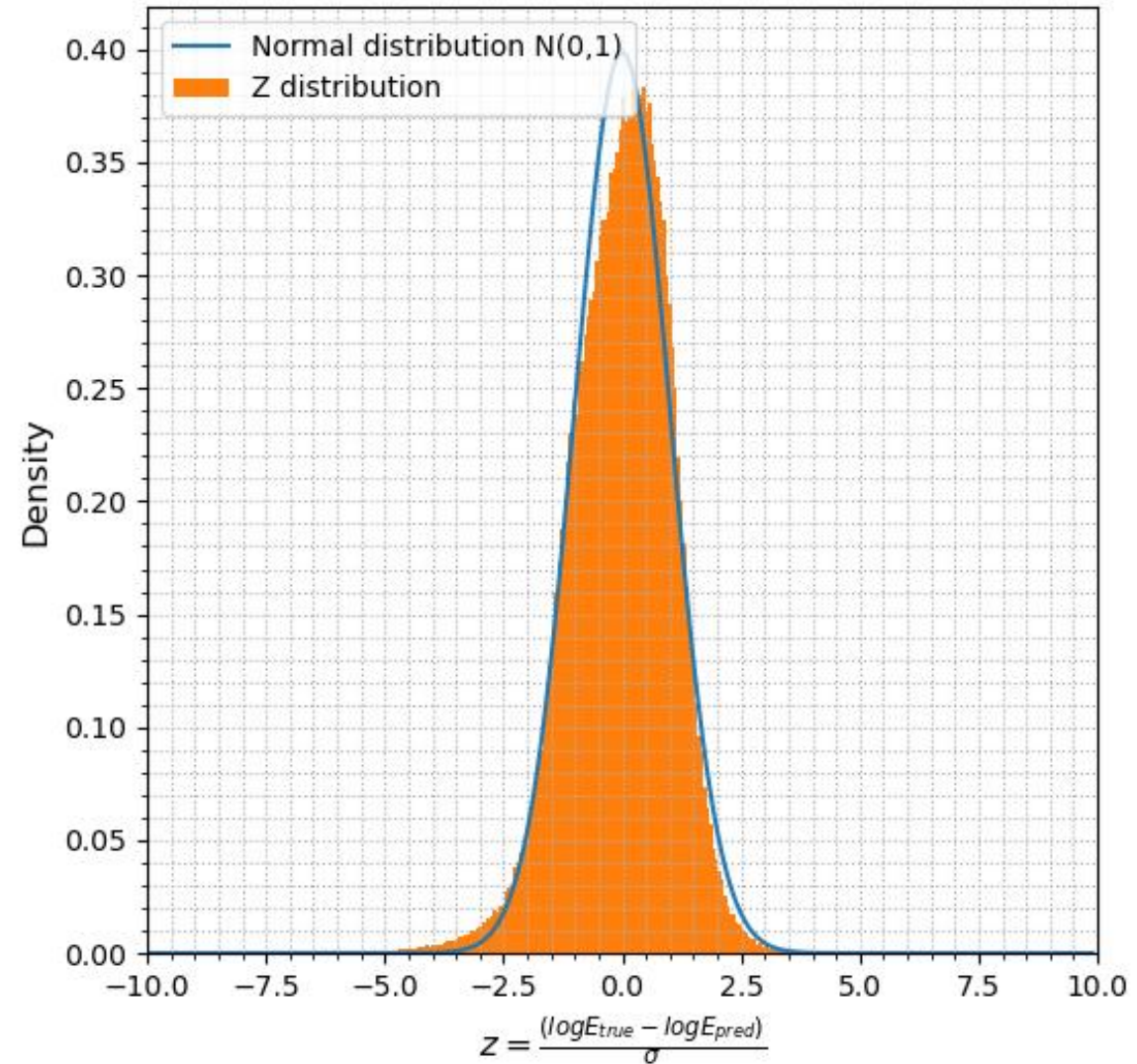
Quality criteria:

$$1) z = \frac{\log E_{true} - \log E}{\sigma} \sim N(0,1)$$

2) central quantile $\pm \sigma = 68\%$

3) σ and $\Delta(\log E)$ correlation

Standardized score z distribution



Metrics: σ branch

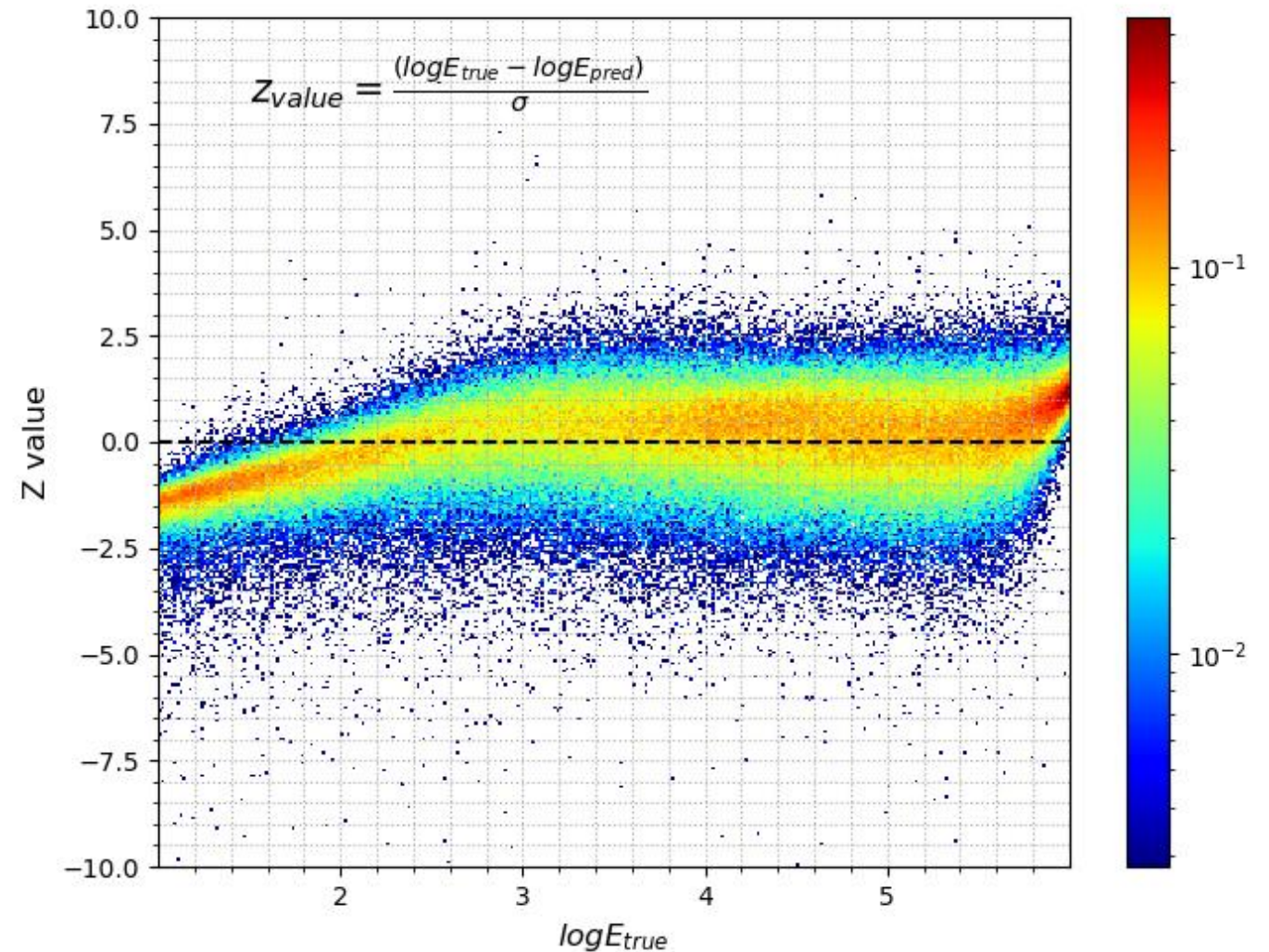
Quality criteria:

$$1) z = \frac{\log E_{true} - \log E}{\sigma} \sim N(0,1)$$

2) central quantile $\pm \sigma = 68\%$

3) σ and $\Delta(\log E)$ correlation

Standardized score z 2D distribution



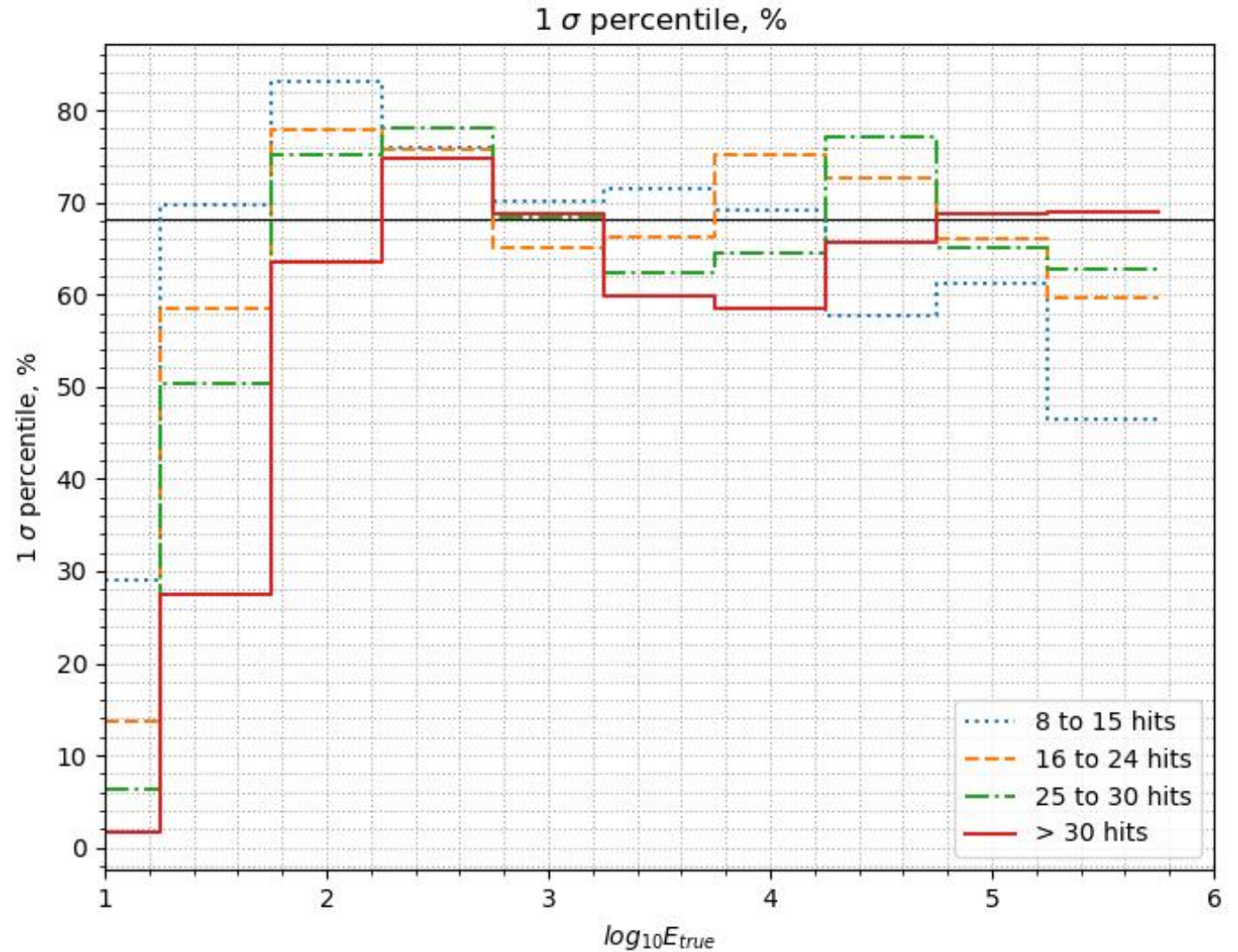
Metrics: σ branch

Quality criteria:

$$1) z = \frac{\log E_{true} - \log E}{\sigma} \sim N(0,1)$$

2) central quantile $\pm \sigma = 68\%$

3) σ and $\Delta(\log E)$ correlation



Metrics: σ branch

Quality criteria:

1) $z = \frac{\log E_{true} - \log E}{\sigma} \sim N(0,1)$

2) central quantile $\pm \sigma = 68\%$

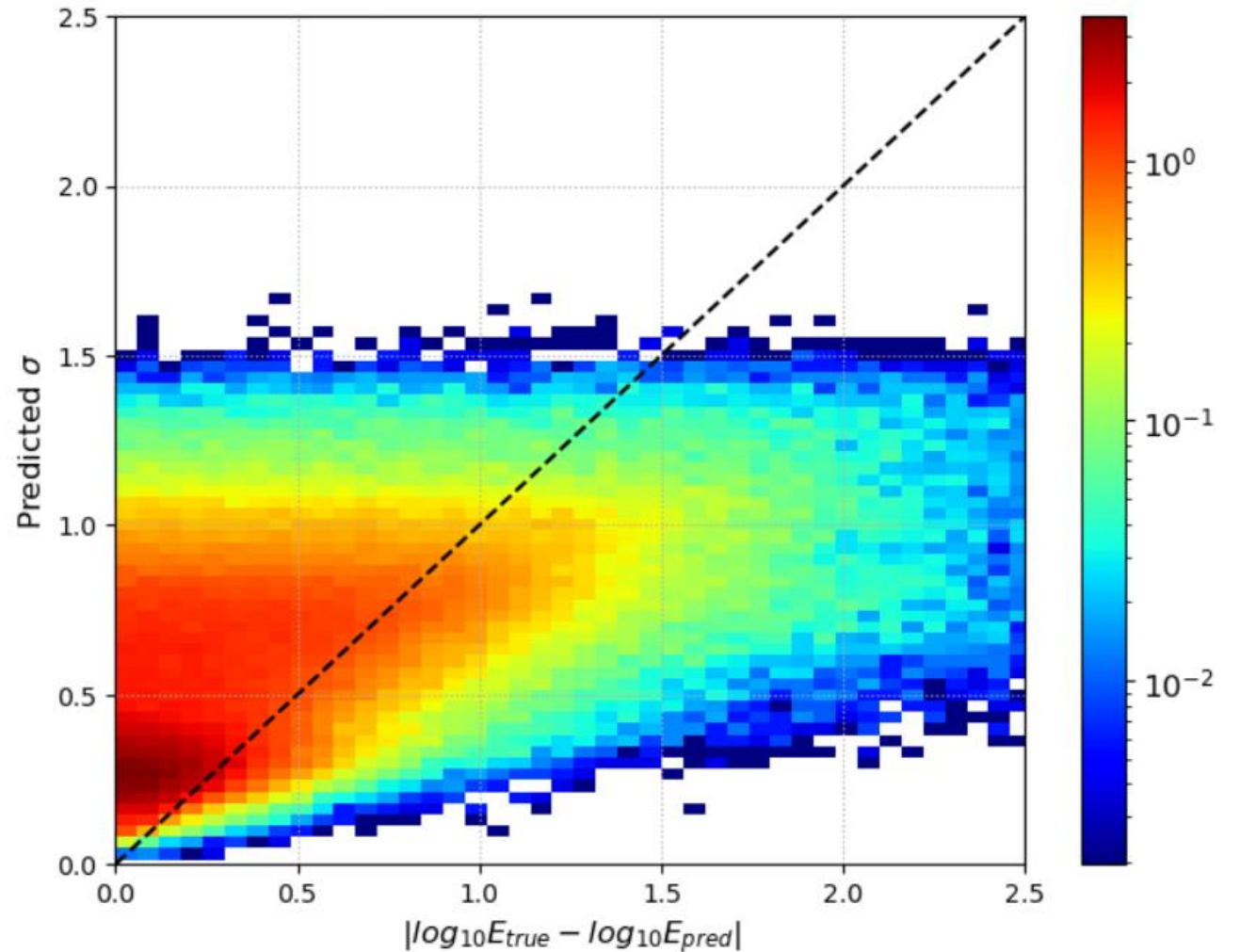
3) σ and $\Delta(\log E)$ correlation

Pearson coefficient = 0.5

Corresponds to:

$$\log E_{true} - \log E \sim N(0, \sigma) !$$

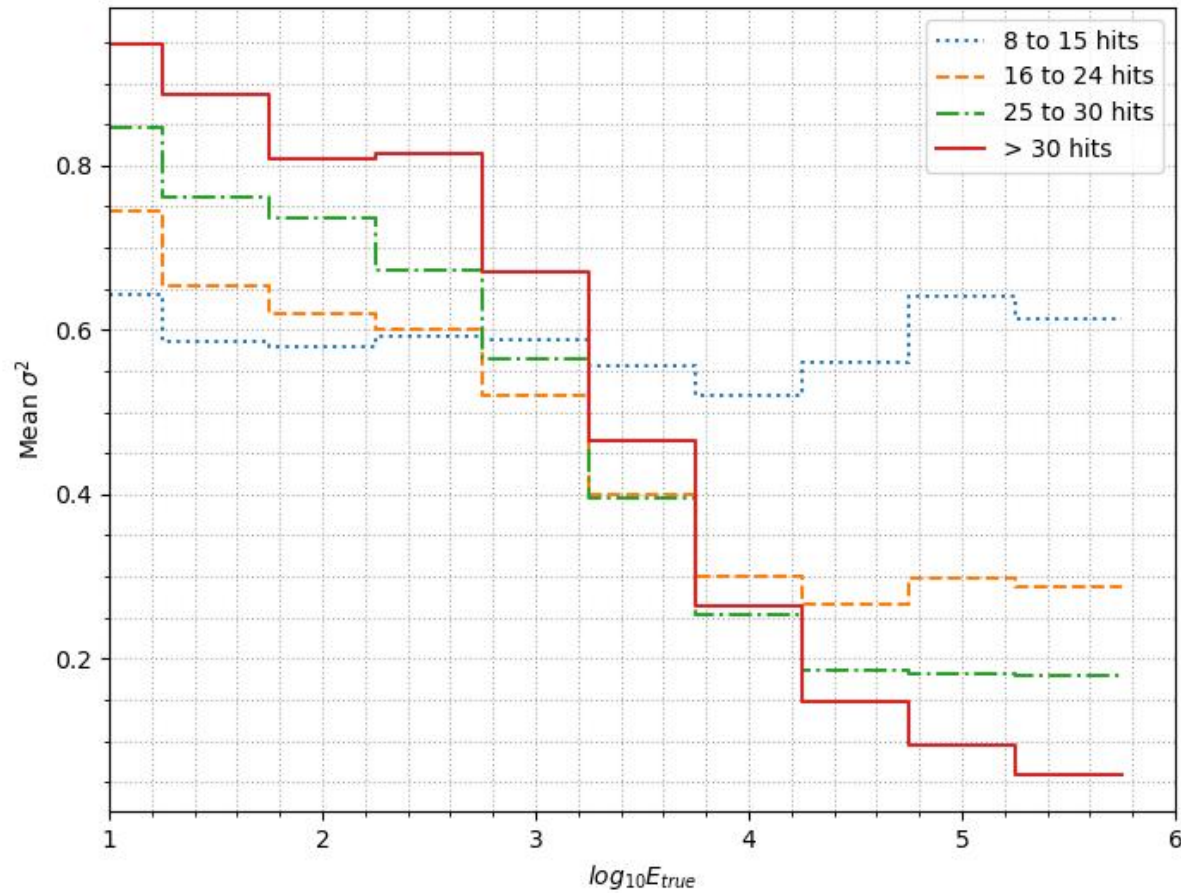
σ vs $\Delta(\log E)$ 2D histogram



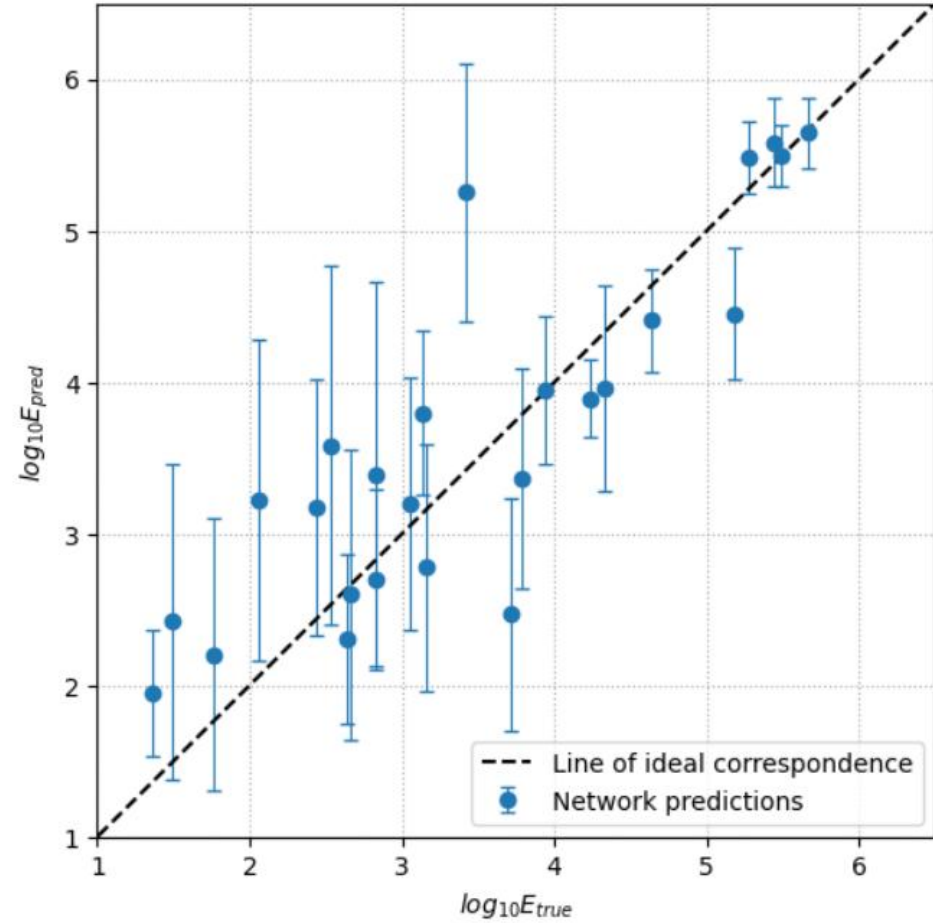
Metrics: σ branch

some more graphs

σ^2 behavior



25 events sample



As energy increases, the predicted error decreases!

Общий план применения нейронных сетей

Считываемые данные



Подавление шумов



Выделение нейтринных событий



Реконструкция параметров событий
(энергия, направление)

Общий план применения нейронных сетей

Считываемые данные



Подавление шумов



→ стандартная реконструкция

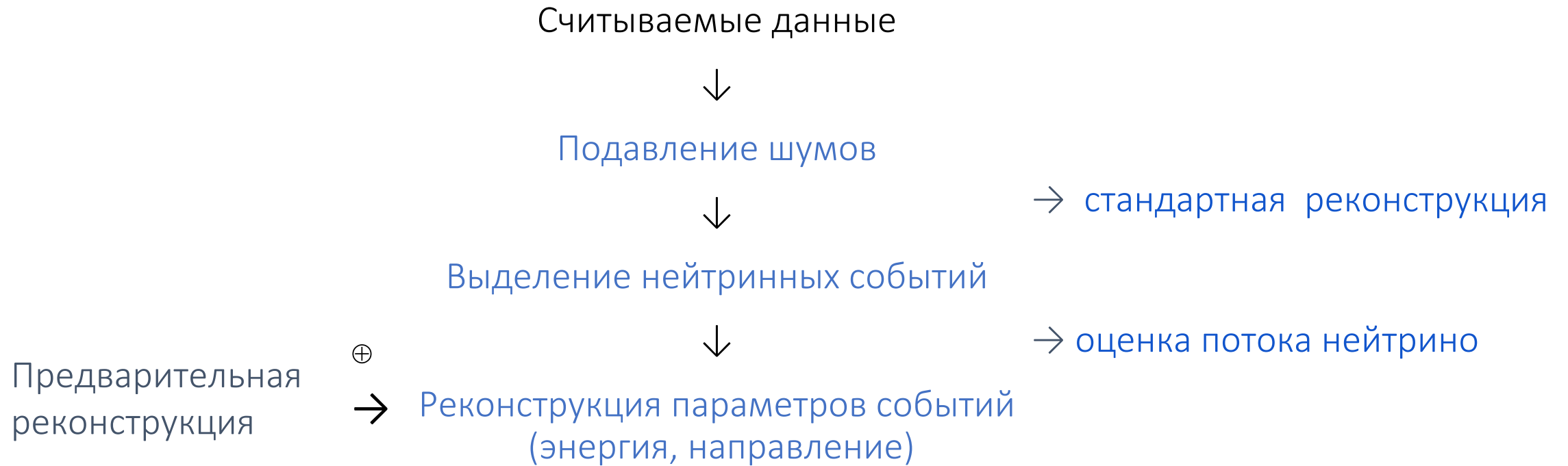
Выделение нейтринных событий



→ оценка потока нейтрино

Реконструкция параметров событий
(энергия, направление)

Общий план применения нейронных сетей



Технические данные

$$\lambda_{scatterina}^{eff} \approx 480\text{м при } 475 \text{ nm} \quad \lambda_{absorption}^{max} \approx 24\text{м}$$

Трековые события :точность угла прилета $\approx 0, 25^\circ$
Каскадные события: разрешение $\approx 2^\circ$

Монте - Карло:

Взаимодействие нейтрино с ядрами : STEQ4M
(нейтрино с энергиями 10 ГэВ – 100ТэВ)

Прилет мюонов: программа CORSIKA 5.7 на модели
адронных вз-ий QGSJET

Распространение мюонов до Байкала : MUM v1.3u

Космические лучи: модель на базе KASCADE (240 ГэВ –
20 ПэВ)

Ошибка по времени 5 нс ; 30% по заряду

EAS:Nu = 1:1

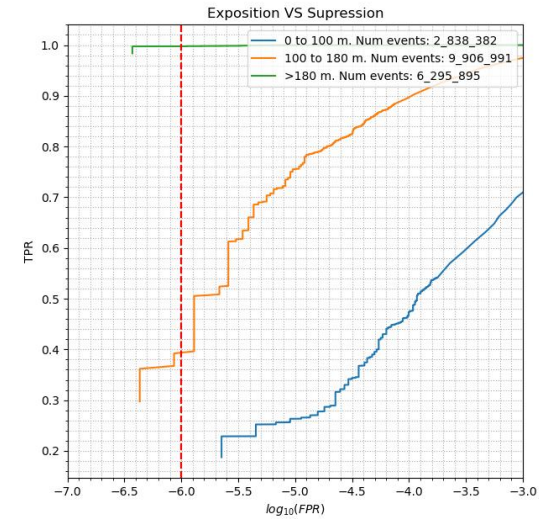
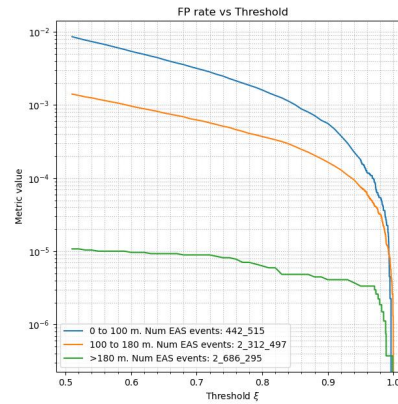
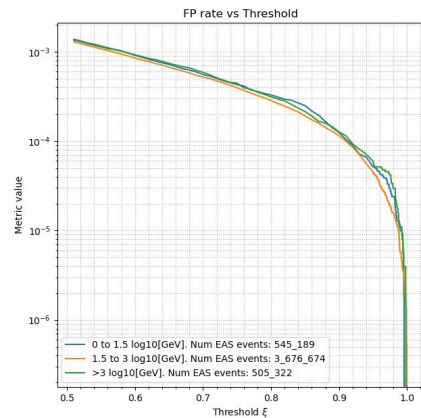
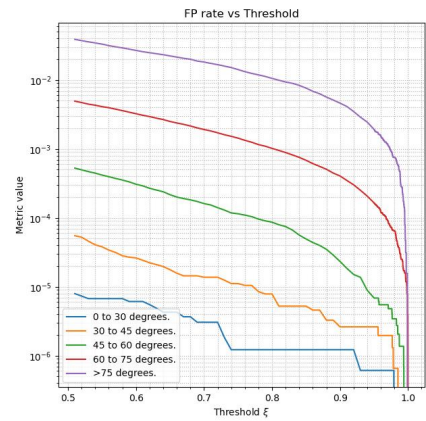
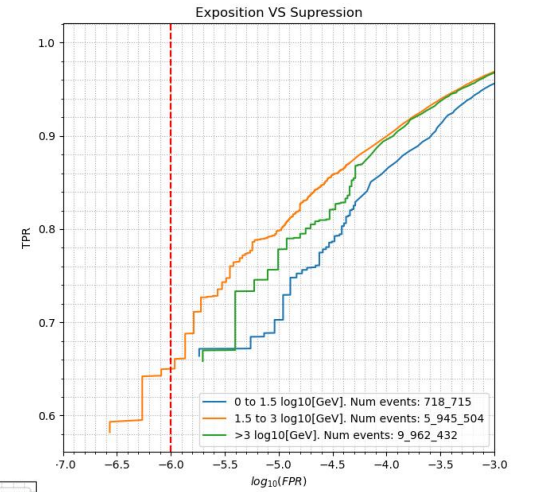
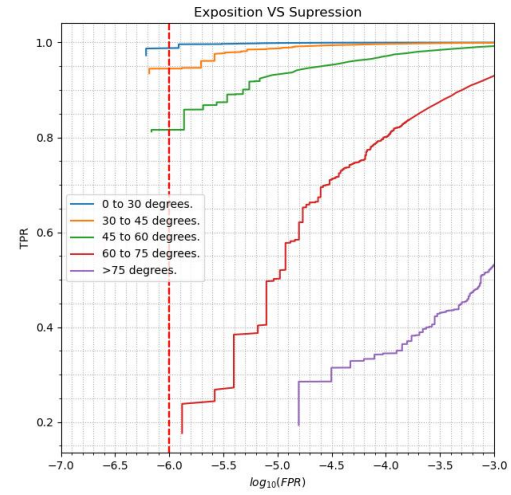
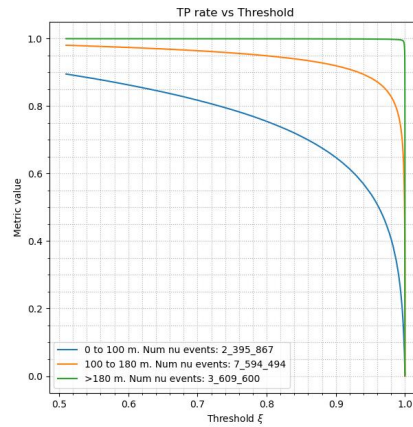
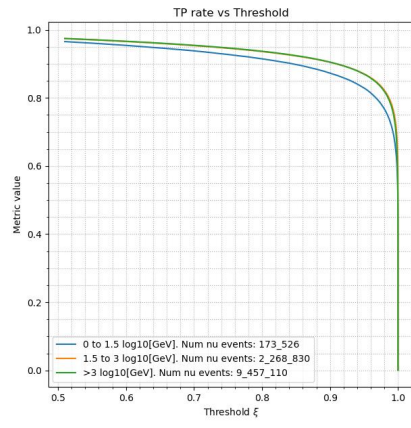
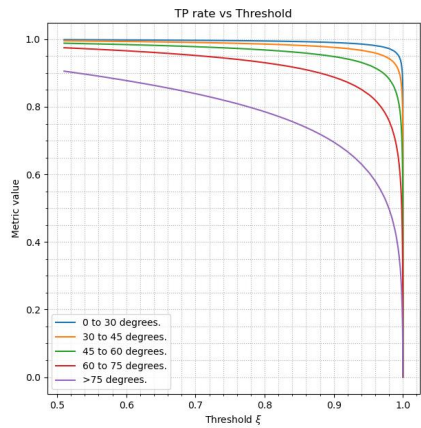
train: 5556146 events,

test: 465253 events,

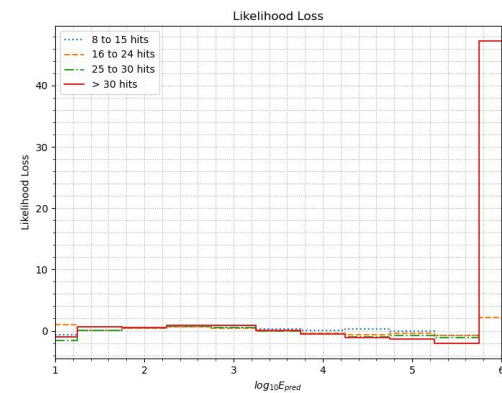
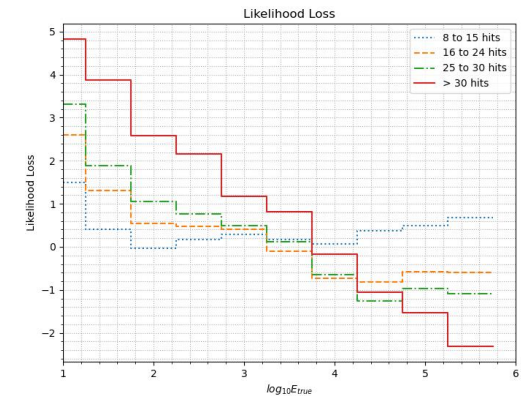
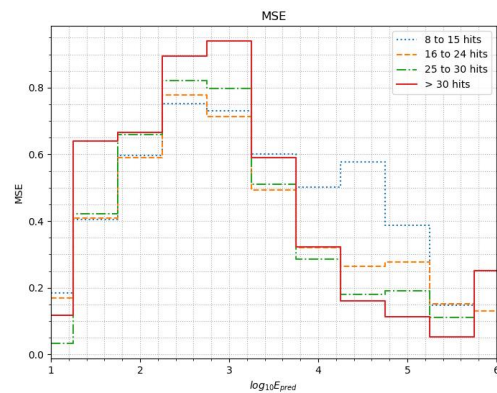
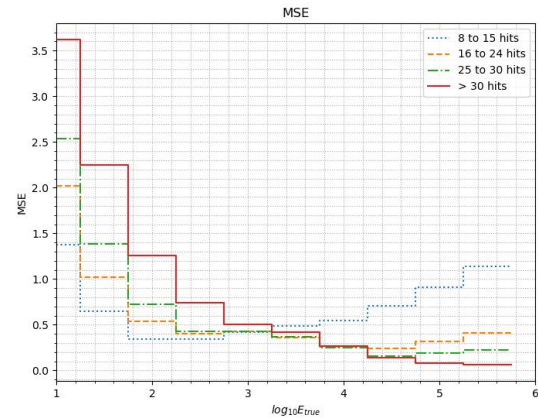
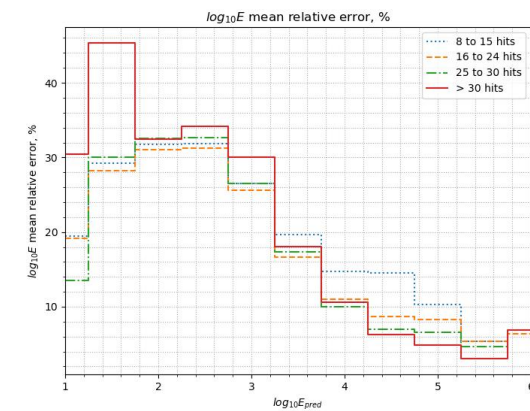
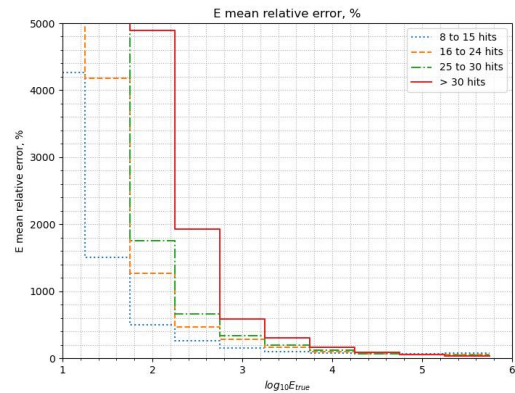
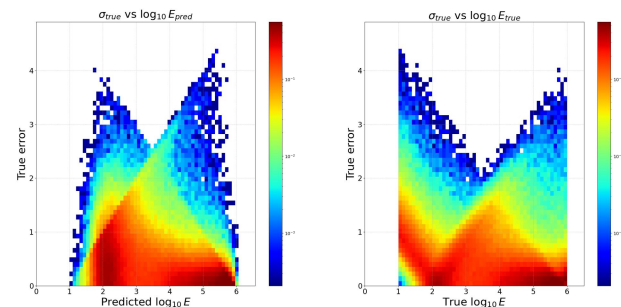
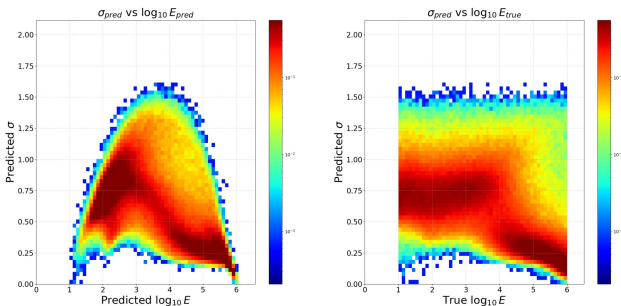
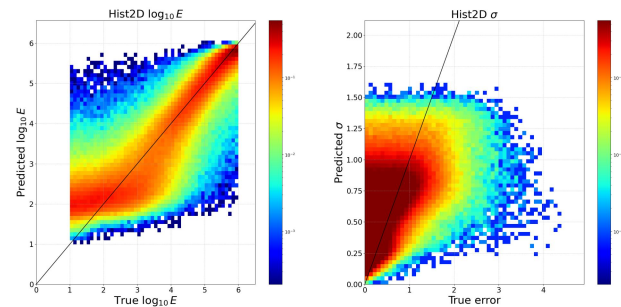
val: 22345821 events

Разные графики

Больше разделения

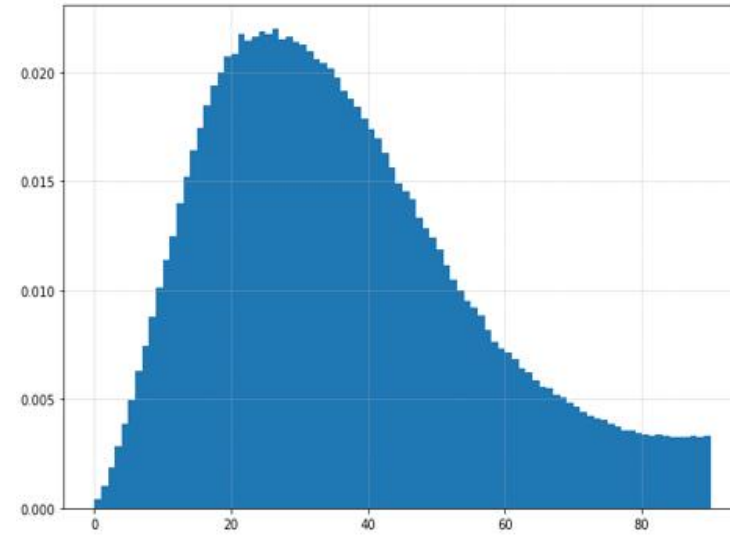
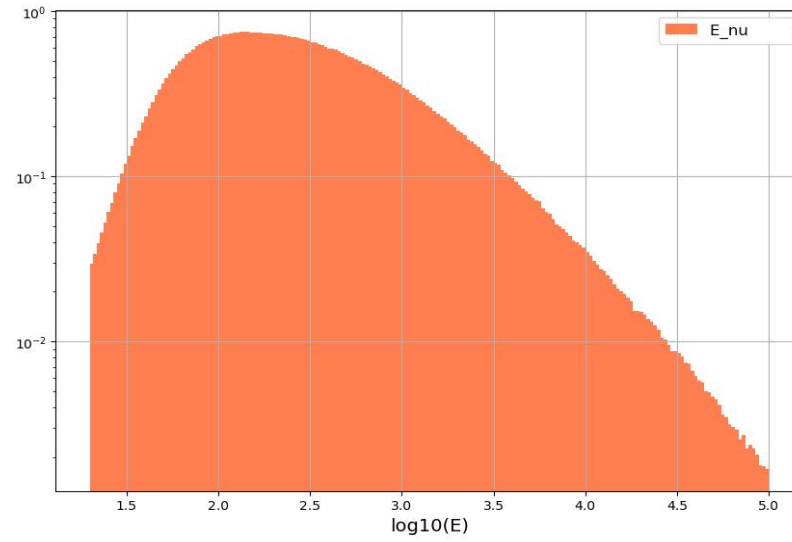


Больше энергии

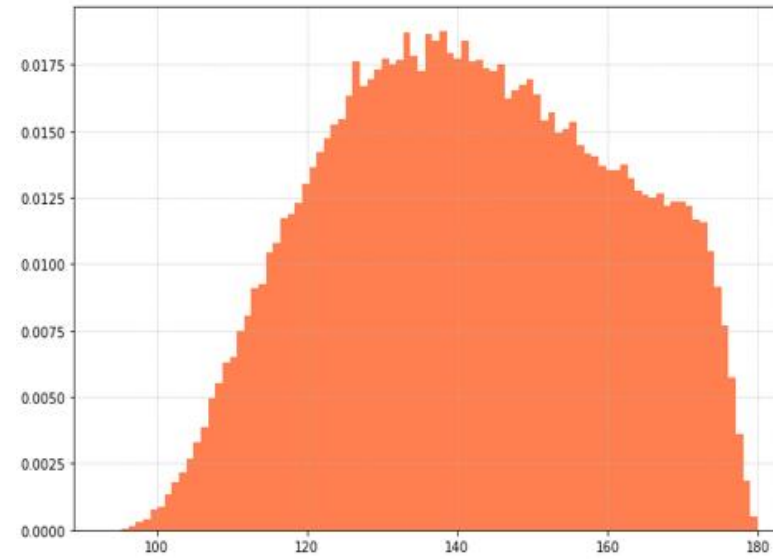
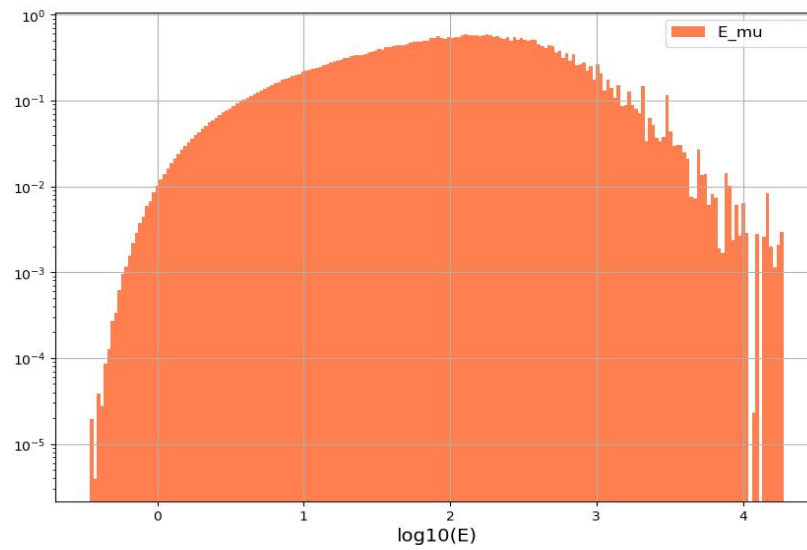


Спектры

Спектры ν

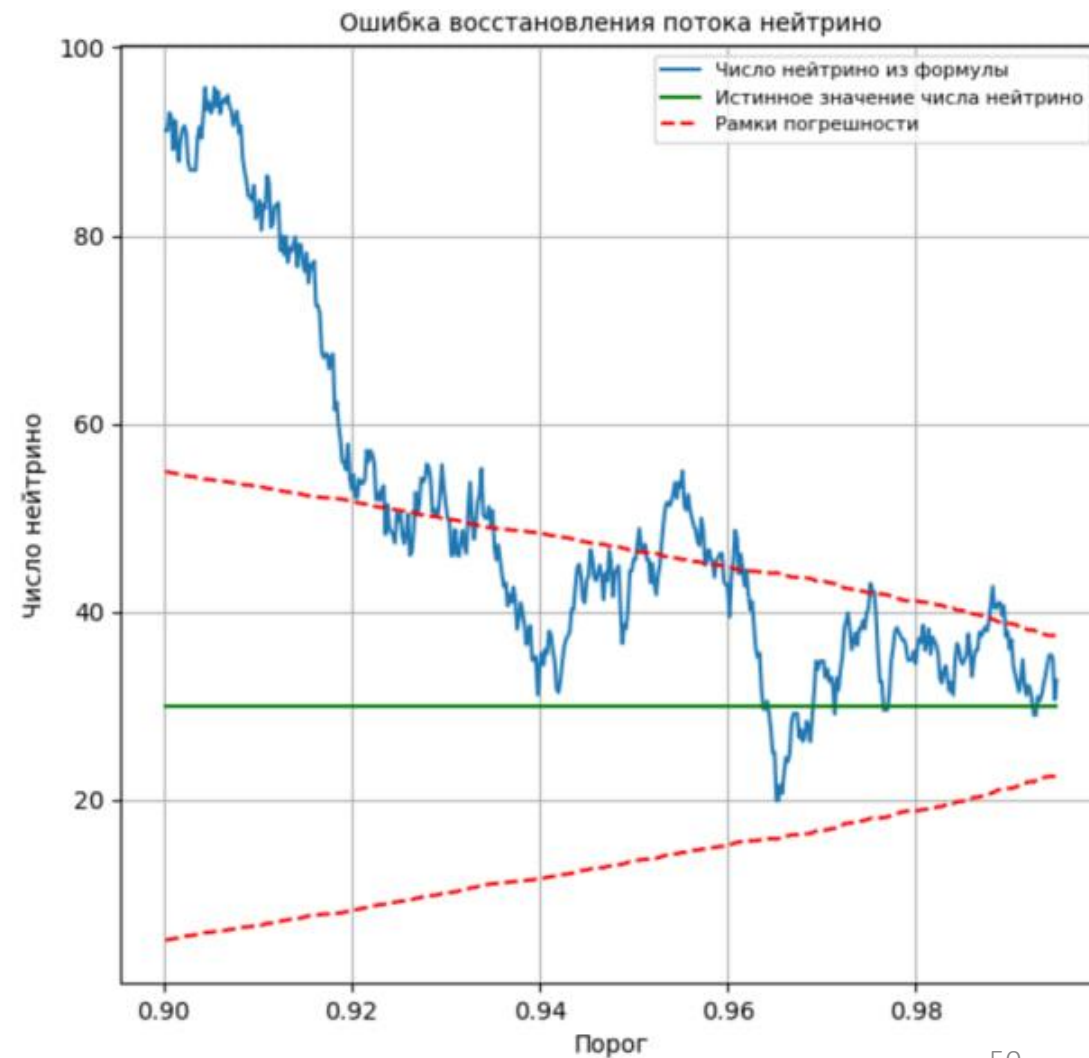
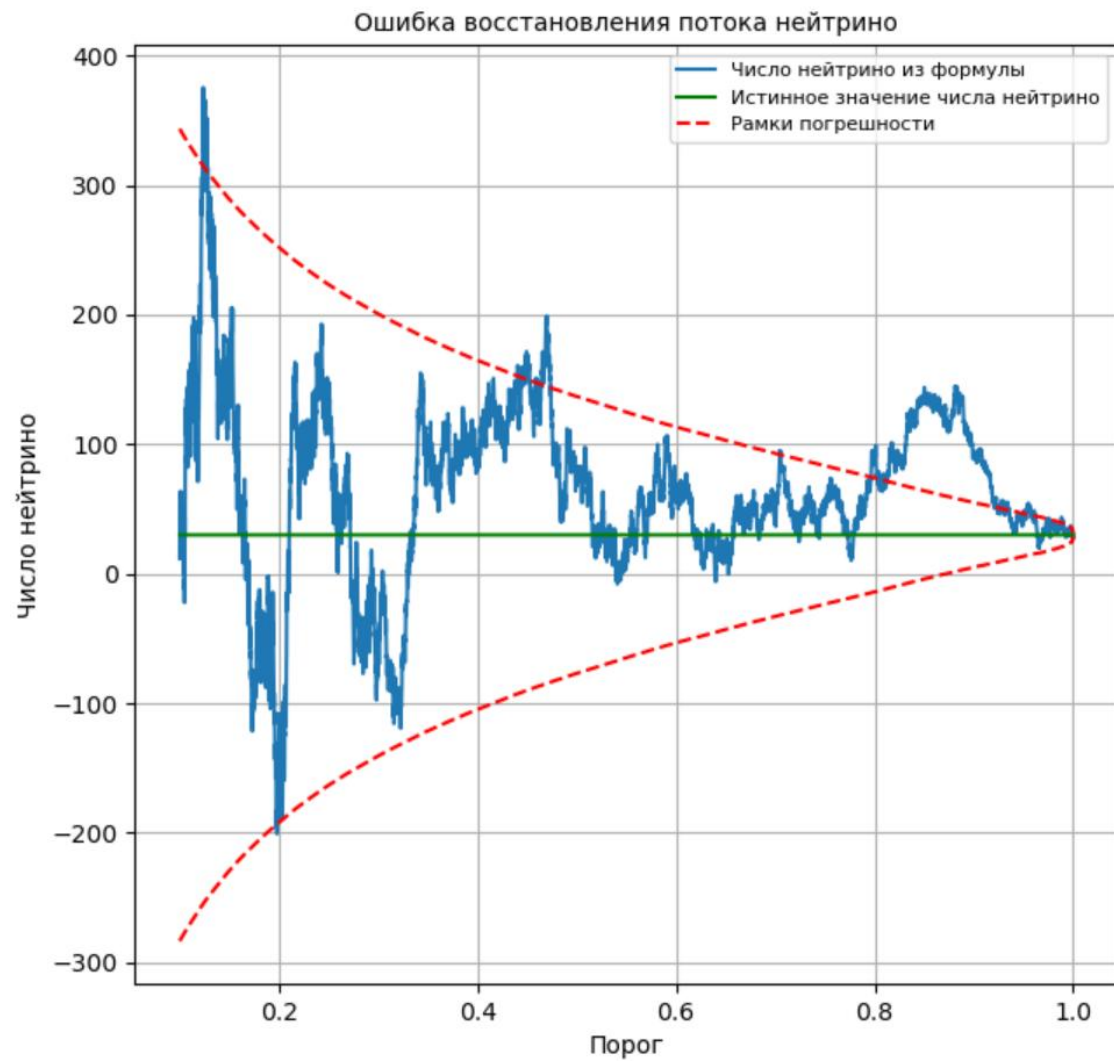


Спектры μ



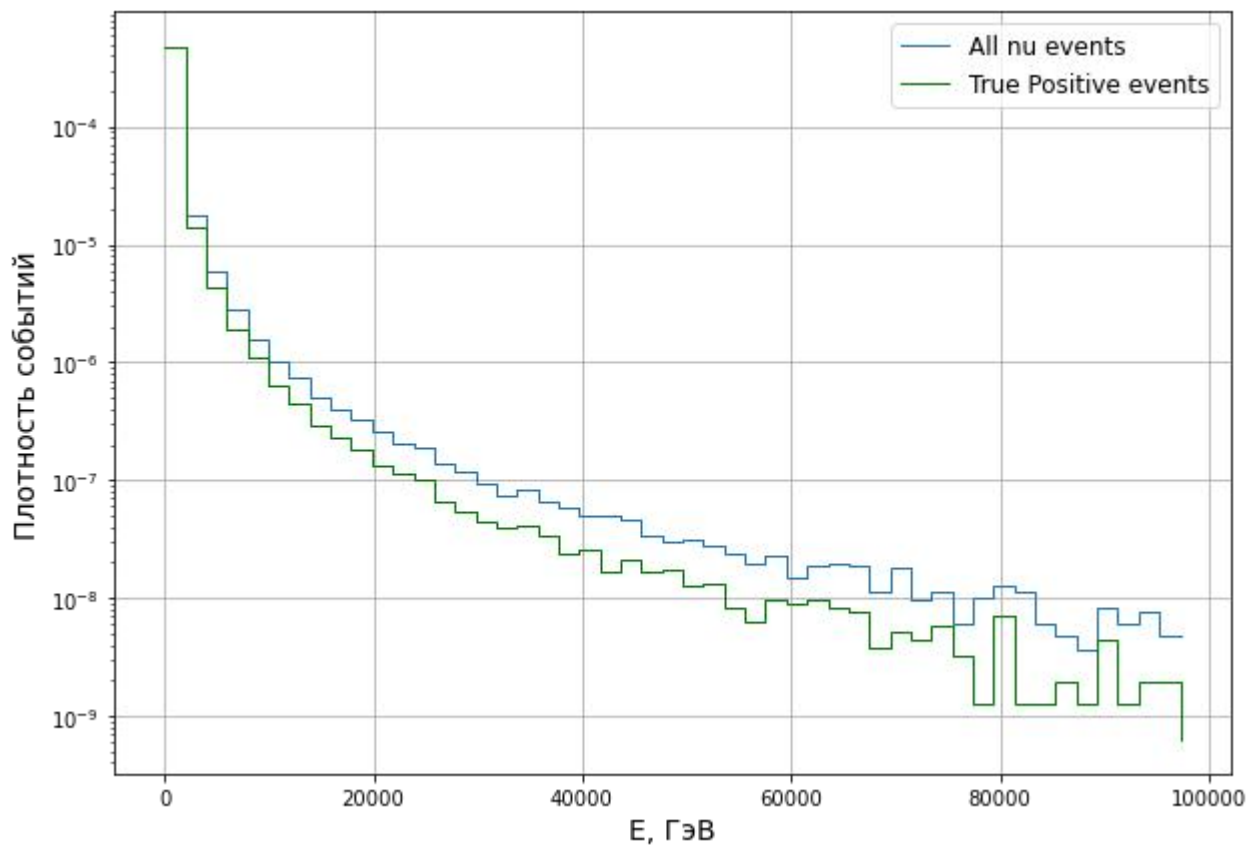
Polar angle

Больше потока

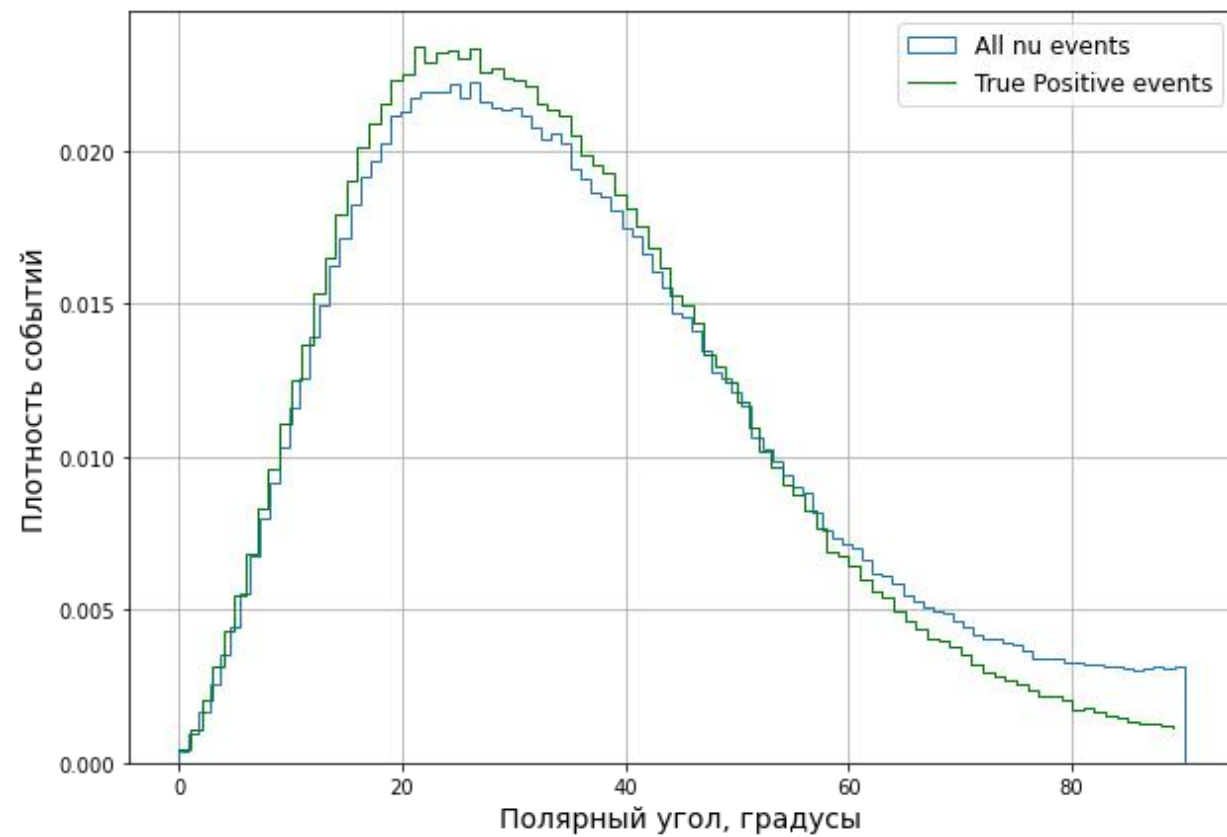


Спектры частиц

Энергия, нейтрино

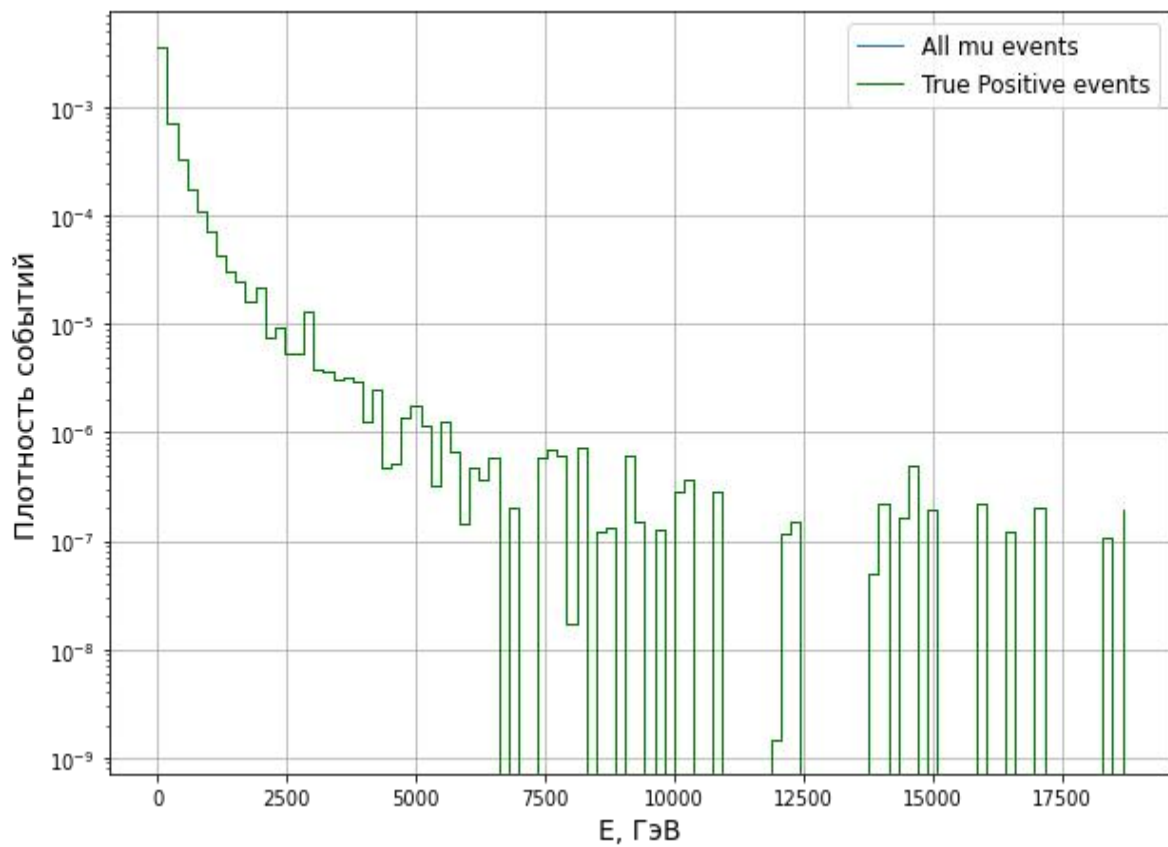


Полярный угол, нейтрино

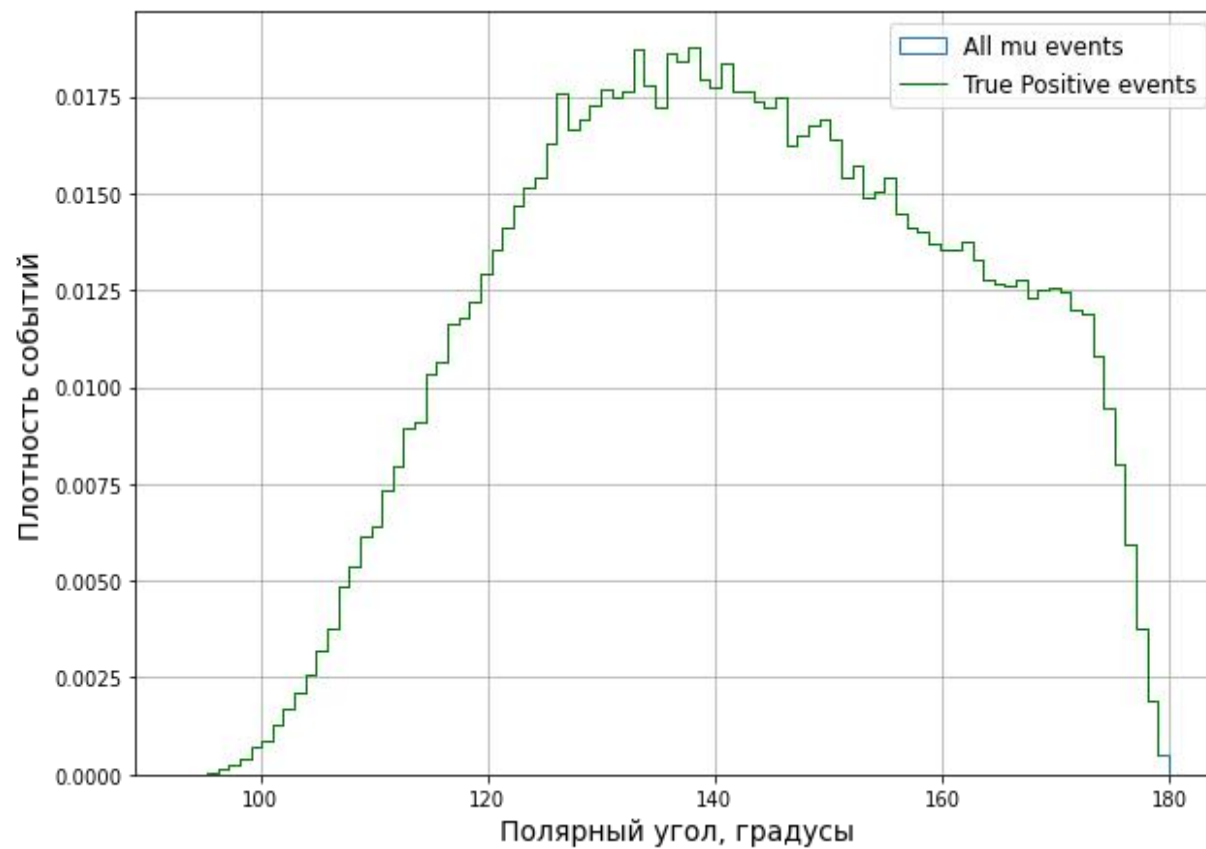


Спектры частиц

Энергия, мюоны

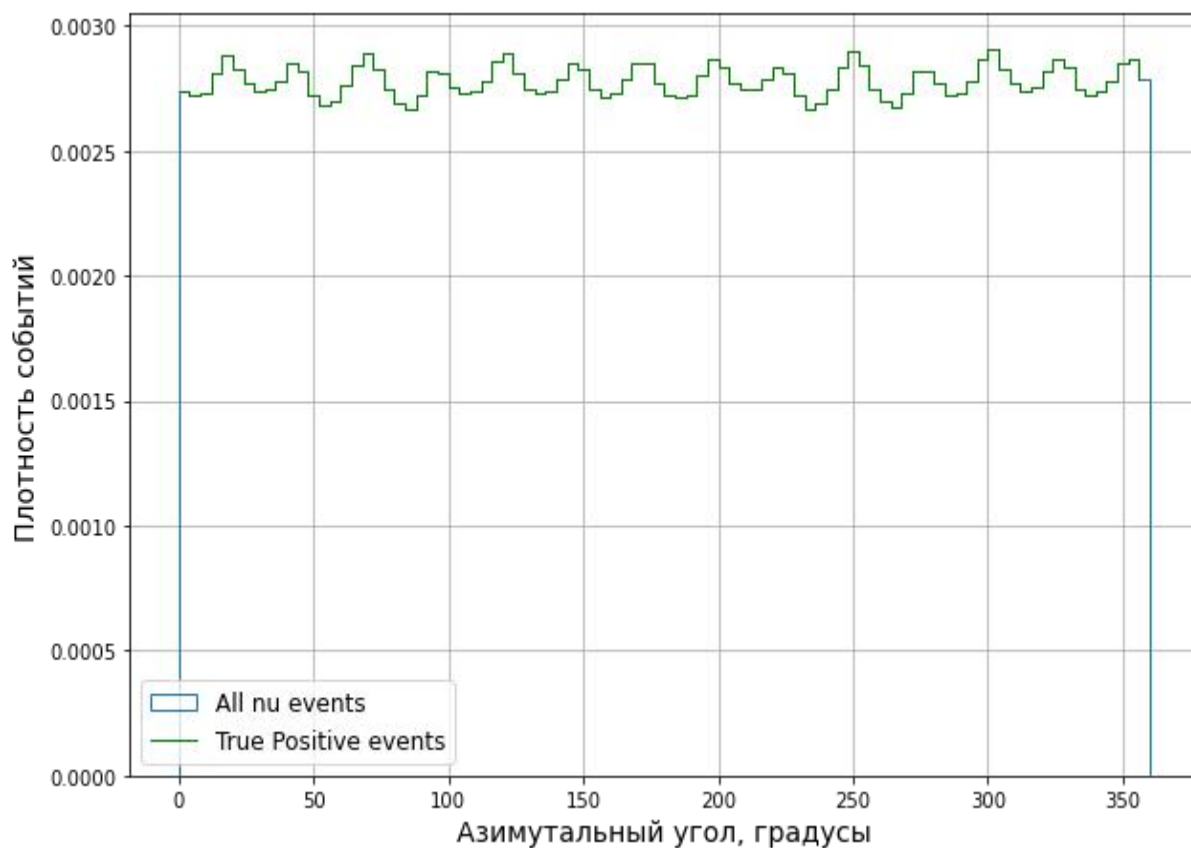


Полярный угол, мюоны

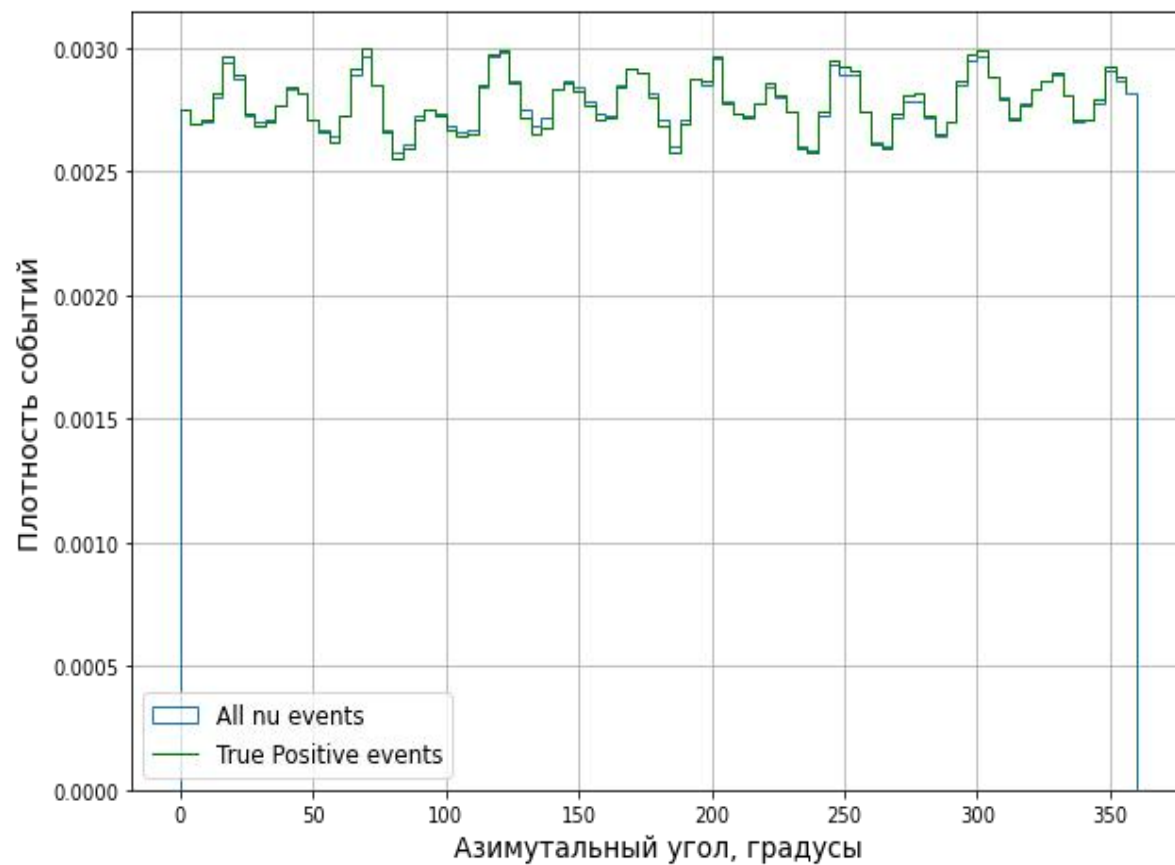


Спектры частиц

Азимутальный угол, мюоны



Азимутальный угол, нейтрино



Разные формулы

Focal loss

$$FL(p_t) = -\alpha_t (1-p_t)^\gamma \log(p_t)$$

$$p_t = \begin{cases} p & \text{if } y = 1 \\ 1 - p & \text{otherwise,} \end{cases}$$

Оценка потока нейтрино (Следует из определений E и S)

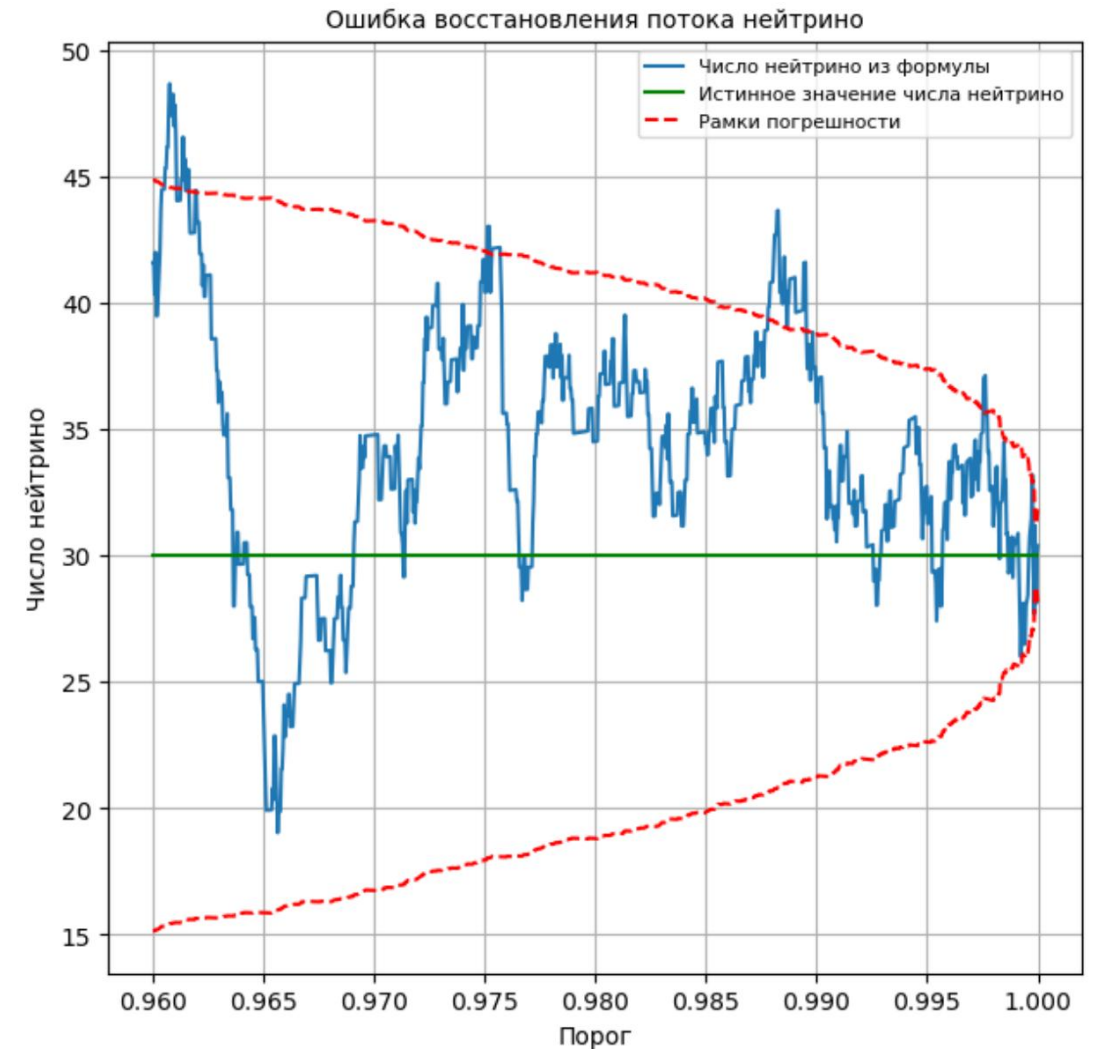
$$n_\nu \approx \frac{n(\xi) - S^0(\xi) \cdot n(0)}{E^0(\xi) - S^0(\xi)}$$

ξ - порог классификации.

S^0 , E^0 - оценки подавления и экспозиции на тестовом МК наборе данных.

$n(\xi)$ - количество событий правее порога.

Можно оценить ошибку!



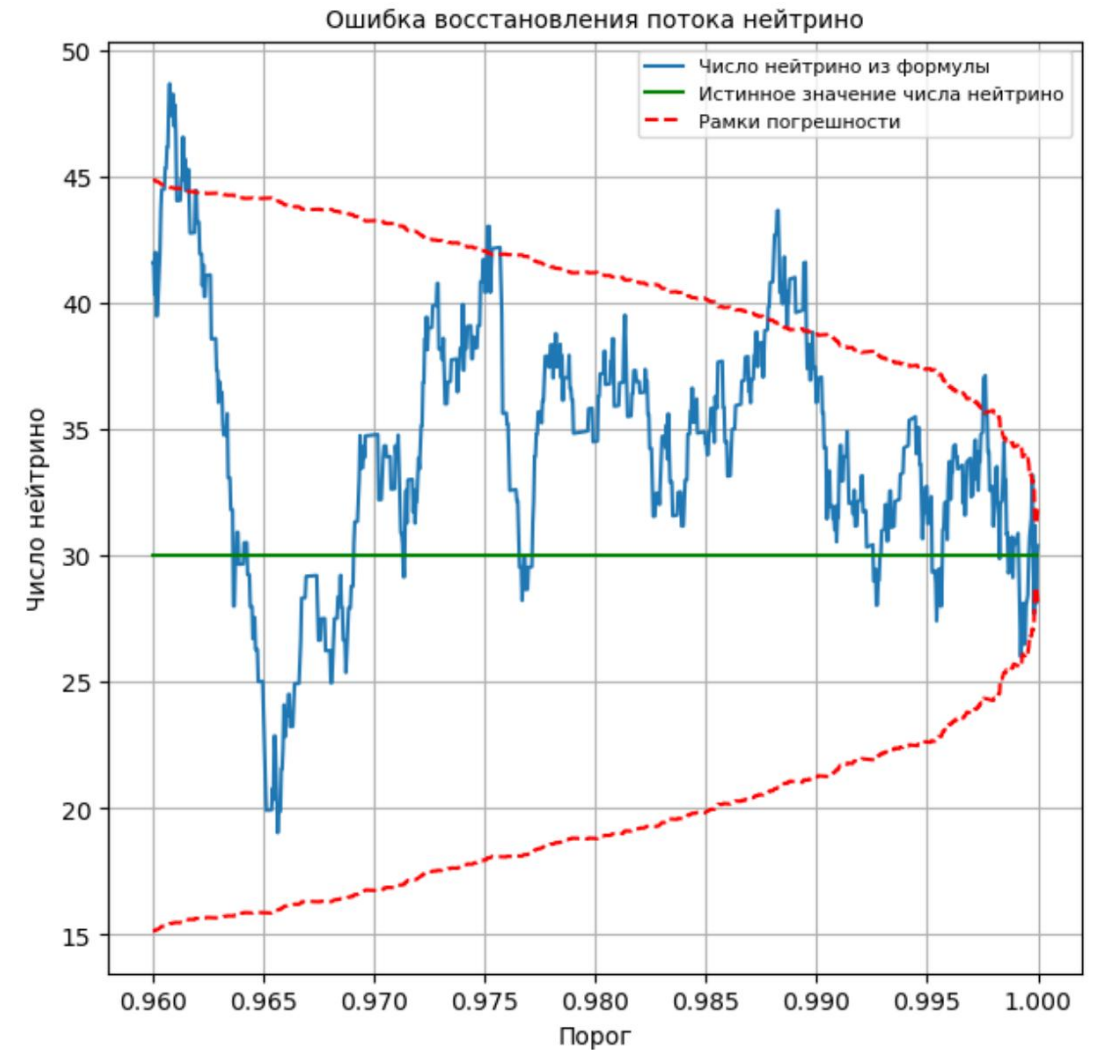
Отношение ШАЛ к ν : $\sim 100\ 000$

Оценка потока нейтрино

$$n_\nu \approx \frac{n(\xi) - S^0(\xi) n(0)}{E^0(\xi) - S^0(\xi)}$$

Можно оценить ошибку!

- Возьмём тестовые нейтринные события.
E - параметр биномиального распределения!
По МК оцениваем E^0 с доверительным интервалом.
- ШАЛ события и S^0 - аналогично!
- Считаем погрешность формулы потока.



Отношение ШАЛ к ν : $\sim 100\,000$

ξ - порог классификации.

S^0 , E^0 - подавление и экспозиция, оцененные на МК.

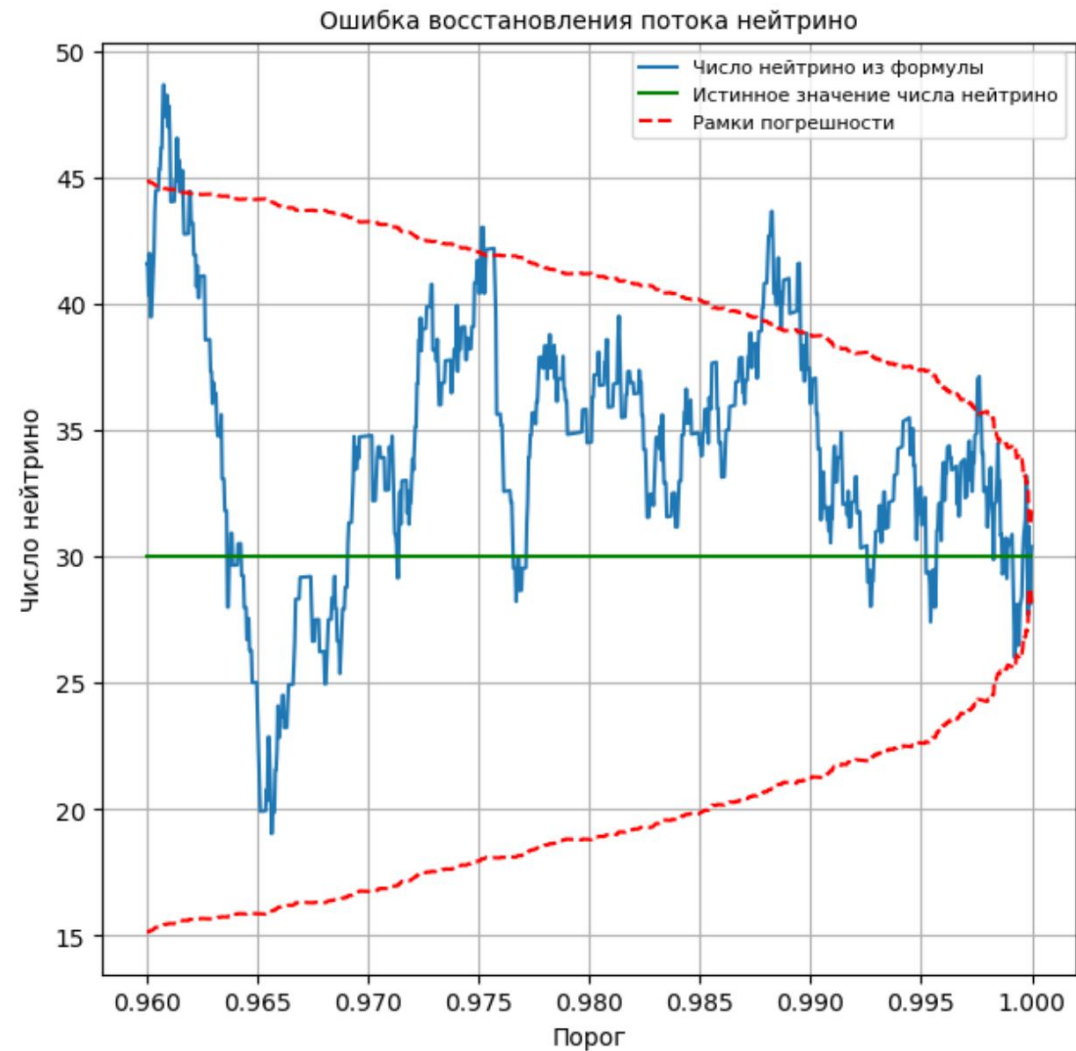
$n(\xi)$ - количество событий, правее порога.

Оценка потока нейтрино

$$n_\nu \approx \frac{n(\xi) - S^0(\xi) n(0)}{E^0(\xi) - S^0(\xi)}$$

Можно оценивать в 2 режимах:

- 1) Оценка числа ν -событий в данных
- 2) Оценка параметра потока ν
(число $n(\xi)$ - Пуассоновская случ. величина)



Отношение ШАЛ к ν : $\sim 100\ 000$

ξ - порог классификации.

S^0 , E^0 - давление и экспозиция, оцененные на МК.

$n(\xi)$ - количество событий, правее порога.

Вывод формулы ошибки

Appendix A: Derivation of Eq. (??)

In this section we derive distributions, expected values and dispersions of random values in Eq. (??). Then, using them, we evaluate the error of estimating the number of neutrino events using Eq. (??). In this section, we use P to denote probability of some outcome for a random variable, and M and D for its expected value and dispersion, accordingly.

We start by discussing the properties of random variables in the experimental dataset. Let the latter contains n^0 events in total, n_ν^0 of which are neutrino-induced and $n_\mu^0 \equiv n^0 - n_\nu^0$ are EAS-induced. n_ν^0 and n_μ^0 are random variables distributed according to the Poisson law with parameters ν and μ respectively. Hence

$$P(n_\nu^0 = k) = \frac{\nu^k e^{-\nu}}{k!}, \quad (\text{A1})$$

$$P(n_\mu^0 = k) = \frac{\mu^k e^{-\mu}}{k!}. \quad (\text{A2})$$

Since n^0 is a sum of n_ν^0 and n_μ^0 , it also follows the Poisson distribution,

$$P(n^0 = k) = \frac{(\nu + \mu)^k e^{-(\nu + \mu)}}{k!}. \quad (\text{A3})$$

It's expected value and dispersion are:

$$M(n^0) = D(n^0) = \nu + \mu. \quad (\text{A4})$$

Let us now address the classification of events by the neural network. A trained neural network can be considered as a black box. As it was discussed in section

??, for a fixed classification threshold ξ , the network classifies a neutrino-induced event correctly with some probability E , and EAS-induced event is identified incorrectly with the probability S . Hence the number of identified true and false neutrino-induced events are independent random variables with binomial distributions:

$$P(n_\nu = k | n_\nu^0 = m) = \text{Bin}(m, E)(k), \quad (\text{A5})$$

$$P(n_\mu = k | n_\mu^0 = m) = \text{Bin}(m, S)(k). \quad (\text{A6})$$

Here $n_\nu(\xi) \equiv n_\nu$, $n_\mu(\xi) \equiv n_\mu$, and $\text{Bin}(m, p)(k)$ stands for the binomial distribution with number of experiments m and success probability p :

$$\text{Bin}(m, p)(k) = C_m^k p^k (1-p)^{m-k}. \quad (\text{A7})$$

The number of neutrino-induced events identified by the neural network on a test dataset is subject to both of the above-described random processes. Hence the full probability distributions, P_i , of n_ν and n_μ can be obtained by multiplying the corresponding Poisson and binomial distributions,

$$P_i(n_\nu = k) = \sum_{m=0}^{\infty} P(n_\nu = k | n_\nu^0 = m) P(n_\nu^0 = m) \quad (\text{A8})$$

$$P_i(n_\mu = k) = \sum_{m=0}^{\infty} P(n_\mu = k | n_\mu^0 = m) P(n_\mu^0 = m) \quad (\text{A9})$$

Using Eq. (A8), Eq. (A9), Eq. (A1) and Eq. (A2), one can evaluate the expected values and dispersions of n_ν and n_μ :

$$M(n_\nu) = D(n_\nu) = E\nu, \quad (\text{A10})$$

$$M(n_\mu) = D(n_\mu) = S\mu. \quad (\text{A11})$$

For the random variable n , which is a sum of n_ν and n_μ , one has:

$$M(n) = D(n) = E\nu + S\mu. \quad (\text{A12})$$

Now the task is to estimate binomial parameters E and S of the neural network after measurements of n_ν and n_μ on the test dataset. To do this, we use standard formulae:

$$\tilde{E} = \frac{n_\nu(\xi)}{n_\nu^0}, \quad \tilde{S} = \frac{n_\mu(\xi)}{n_\mu^0}. \quad (\text{A13})$$

The errors of these evaluations are calculated using the Clopper–Pearson interval. For example, setting confidence level $1 - \alpha$ for \tilde{E} , we obtain interval $E_{\min} < E < E_{\max}$, where E_{\min} and E_{\max} are from equations:

$$\frac{\Gamma(n_\nu^0 + 1)}{\Gamma(n_\nu + 1)\Gamma(n_\nu^0 - n_\nu + 1)} \int_0^{E_{\min}} t^{n_\nu - 1} (1-t)^{n_\nu^0 - n_\nu} dt = \frac{\alpha}{2} \quad (\text{A14})$$

$$\frac{\Gamma(n_\nu^0 + 1)}{\Gamma(n_\nu + 1)\Gamma(n_\nu^0 - n_\nu)} \int_0^{E_{\max}} t^{n_\nu} (1-t)^{n_\nu^0 - n_\nu - 1} dt = 1 - \frac{\alpha}{2} \quad (\text{A15})$$

The variation of \tilde{E} with confidence level $1 - \alpha = 0.68$ we will consider to be equivalent to one standard deviation and calculate as

$$\sigma_{\tilde{E}} = (E_{\max} - E_{\min})/2, \quad (\text{A16})$$

For case of S the reasoning is similar:

$$\sigma_{\tilde{S}} = (S_{\max} - S_{\min})/2 \quad (\text{A17})$$

Now we are ready to evaluate the dispersion of N_ξ estimated using Eq. (??). For this purpose, we used the standard formula for the dispersion of a function of random variables,

$$\sigma_{N_\xi}^2 = \sum_v \left(\frac{\partial N_\xi}{\partial v} \right)^2 \sigma_v^2 + 2 \sum_{v \neq u} \left(\frac{\partial N_\xi}{\partial v} \right) \left(\frac{\partial N_\xi}{\partial u} \right) \text{Cov}_{v,u}. \quad (\text{A18})$$

Here, v and u denote arguments of the function N_ξ , which are $n(\xi) \equiv n$, $n(0) \equiv n^0$, $\tilde{E}(\xi)$ and $\tilde{S}(\xi)$; σ_v^2 stands for squared variance of v , and $\text{Cov}_{v,u}$ denotes covariance between v and u .

Let us explicitly write out the estimation of the variances and covariances. According to Eq. (A4), $\sigma_{n^0}^2$ can be estimated as

$$\sigma_{n^0}^2 = n^0. \quad (\text{A19})$$

Further, from Eq. (A12), one gets

$$\sigma_n^2 = n. \quad (\text{A20})$$

Next, $\sigma_{\tilde{E}}^2$ and $\sigma_{\tilde{S}}^2$ can be obtained from Eq. (A16) and Eq. (A17).

Finally, note that there are only two dependent random variables in Eq. (??) — n and n^0 . Their covariance can be calculated using Eq. (A3), Eq. (A8) and Eq. (A9),

$$\text{Cov}_{n^0, n} = E\nu + S\mu = M(n). \quad (\text{A21})$$

Therefore this covariance can be estimated as n .

By calculating the partial derivatives of N_ξ in Eq. (A18) and substituting the obtained expressions for variances and covariances, we obtain the final result:

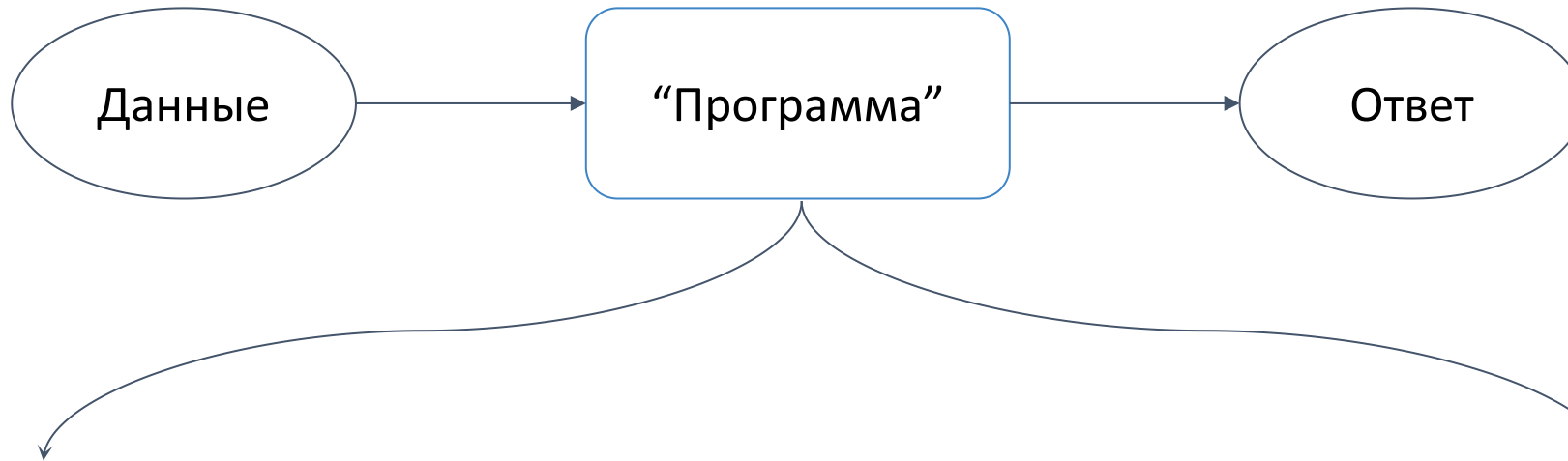
$$\sigma_{N_\xi}^2 = \frac{(n - n^0 \tilde{S})^2}{(\tilde{E} - \tilde{S})^4} \cdot \sigma_{\tilde{E}}^2 + \frac{(n - n^0 \tilde{E})^2}{(\tilde{E} - \tilde{S})^4} \cdot \sigma_{\tilde{S}}^2 + \frac{n + n^0 (\tilde{S})^2 - 2n\tilde{S}}{(\tilde{E} - \tilde{S})^2} \quad (\text{A22})$$

* E-mail: matseiko.av@phystech.edu

† E-mail: ivan.kharuk@phystech.edu

Про нейросети

Основы нейронных сетей



Стандартные алгоритмы:

“Программа” - **фиксированный**, написанный человеком **алгоритм** решения задачи.

Как выделить признаки?

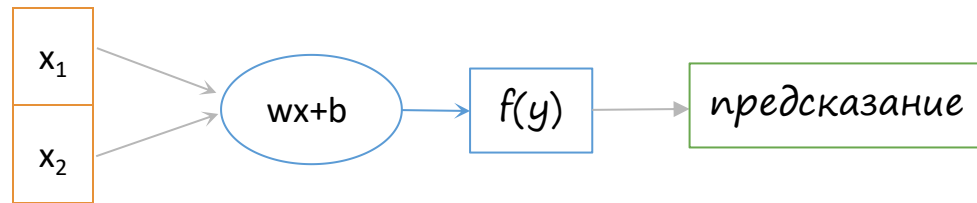
Машинное обучение:

“Программа” - **обучающийся на примерах** алгоритм выделения оптимальных признаков.

Программы, создающие оптимальные алгоритмы

Основы нейронных сетей

Пример: по координате точки на плоскости предсказать, лежит ли она внутри окружности единичного радиуса.



Предсказание:

[0;1], 0 - внутри, 1 - снаружи

Мера ошибки:

штраф = |предсказание - правда| ≥ 0

Инициализация:

Выбираем случайно w и b

Оптимизация:

Пока возможно улучшение:

1. Для заданной точки, считаем предсказание
2. Считаем величину функции штрафа
3. Методом градиентного спуска изменяем w и b , чтобы минимизировать штраф.
4. Берем следующий “обучающий пример”

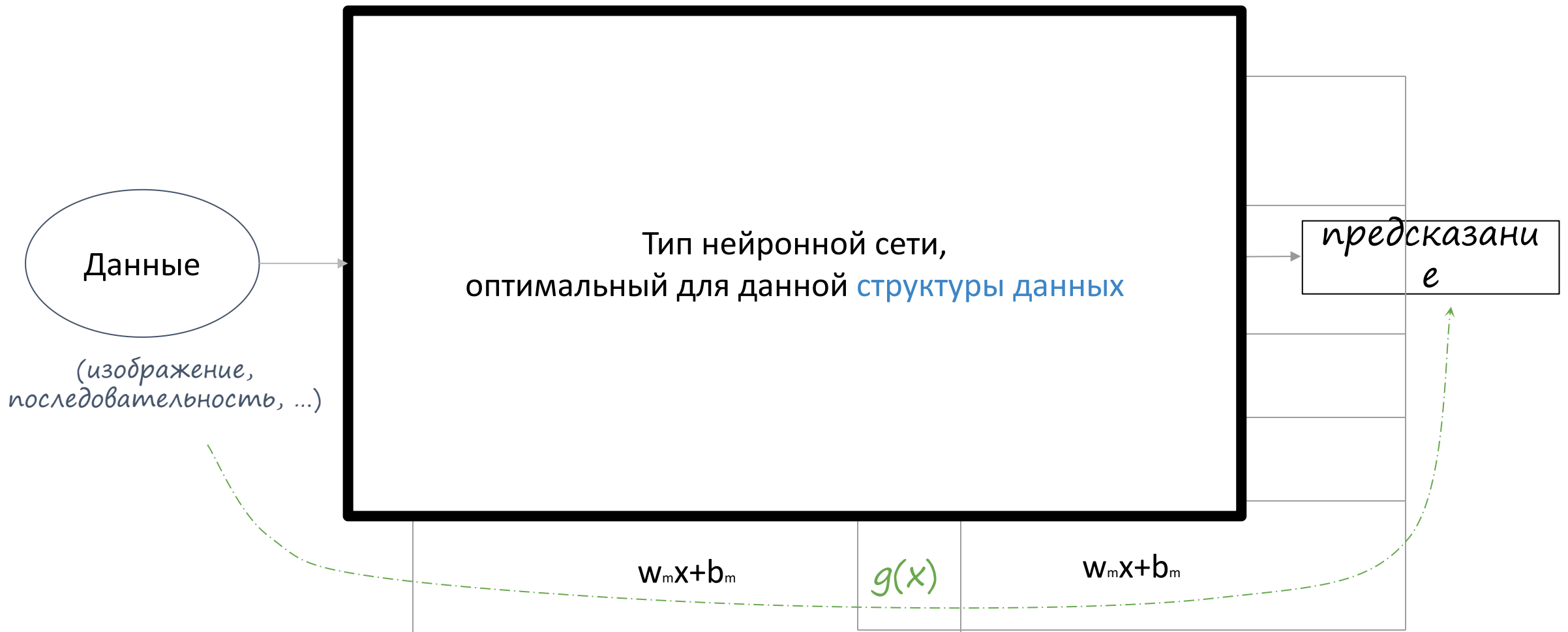
Итог:

Оптимальные значения w и b .

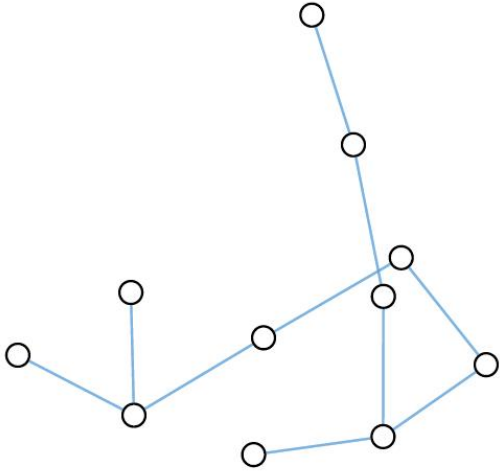
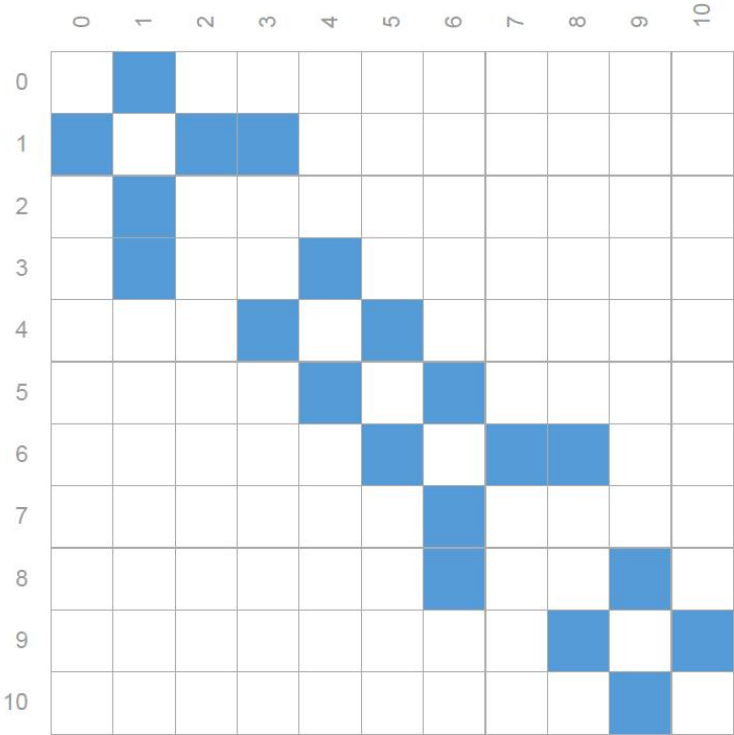
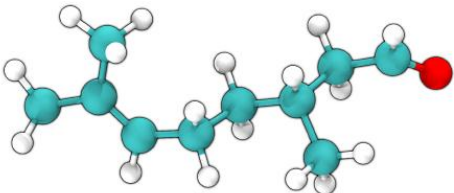
Найденные оптимальные параметры и есть итоговая “программа”.

Сила машинного обучения

Нейросеть способна аппроксимировать любую функцию

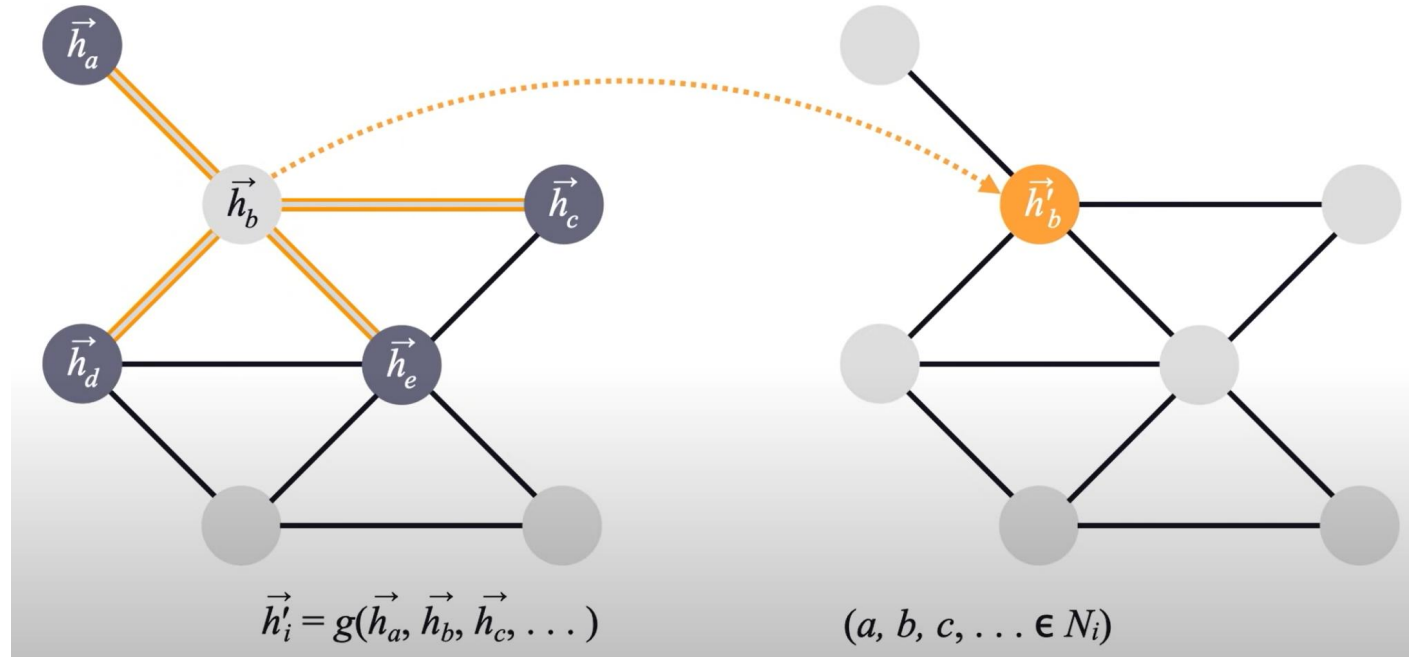


Графовые сети



Графы позволяют учитывать более сложные связи в данных

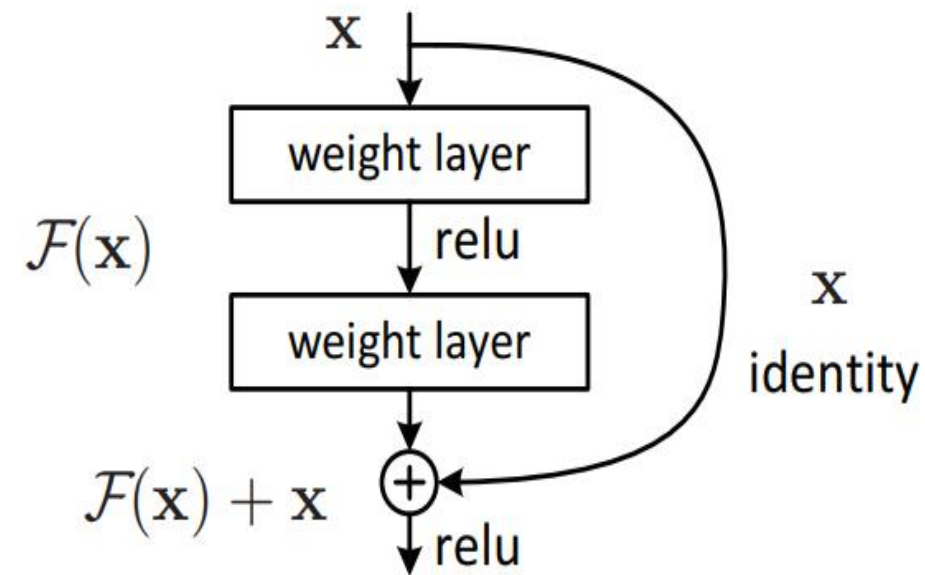
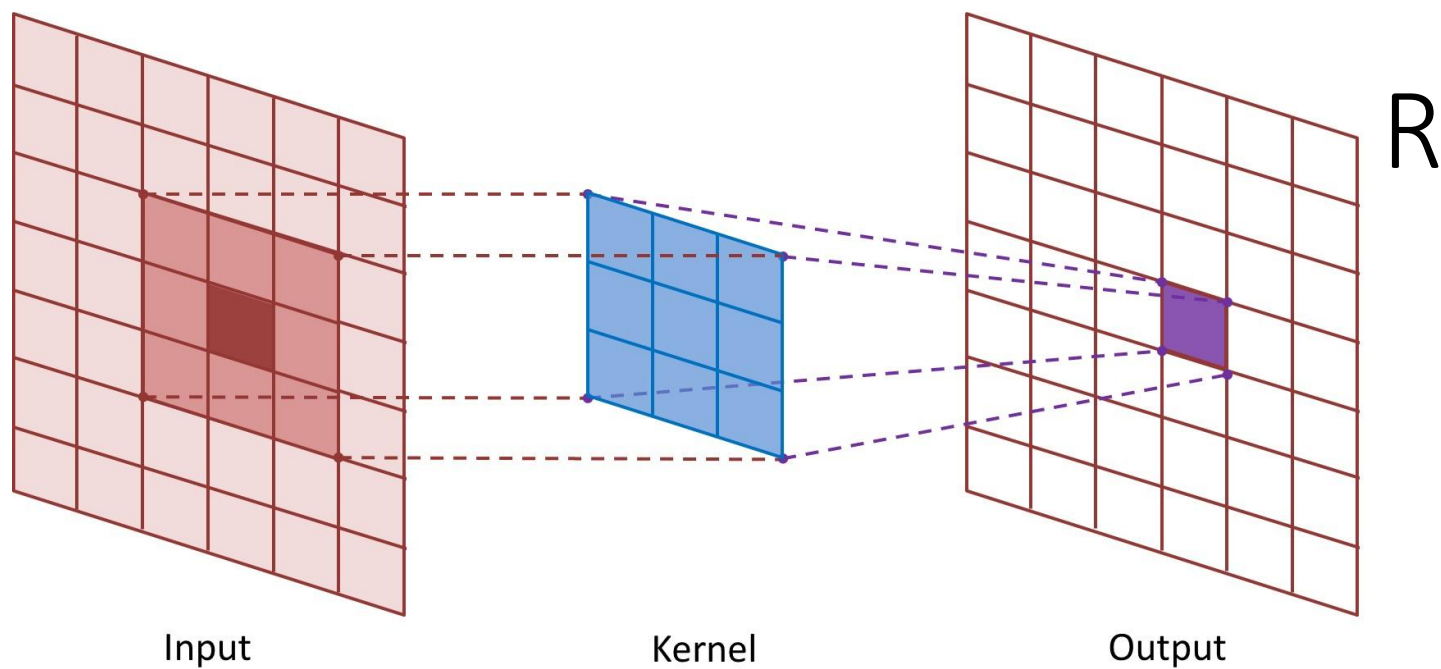
Графовые сети



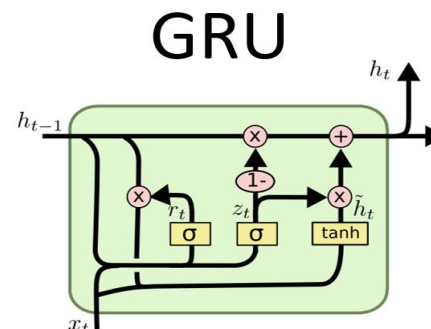
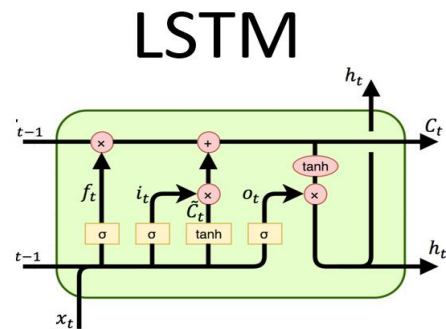
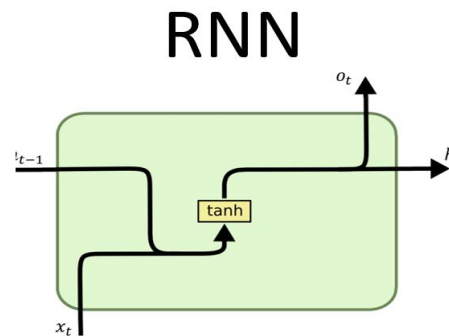
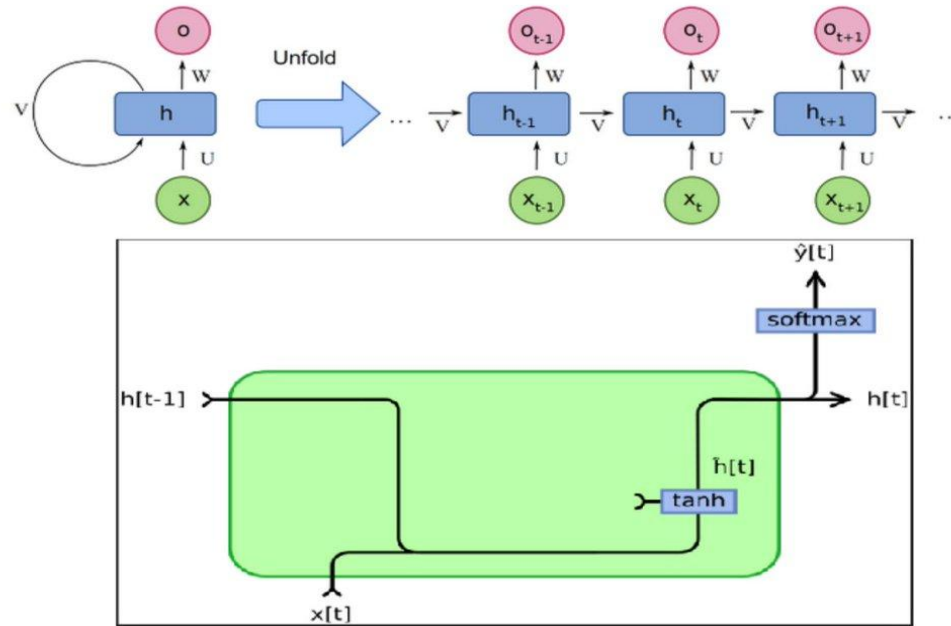
Графовые сети “обновляют” граф: на следующем шаге значение вершины является функцией от
а) её соседей, б) связывающих рёбер, в) глобальных агрегированных свойств графа.

Для реконструкции угла прилета, агрегируется информация со всего графа.

Свёрточная сеть и resnet



Рекуррентная сеть



Про углы

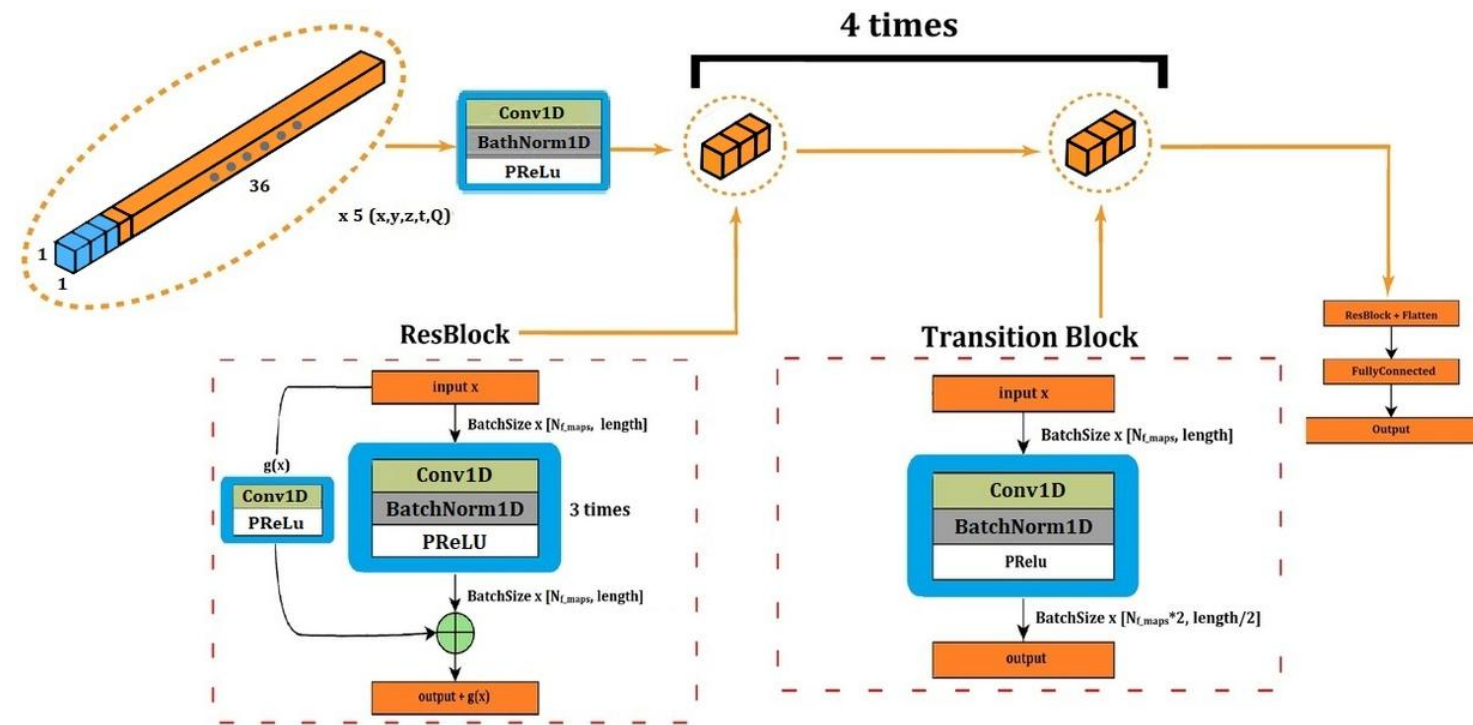
Нейронная сеть

- Используются:

А) сверточная нейронная сеть (CNN) на основе сети ResNet [3]

Б) графовая сверточная нейронная сеть (EdgeGNN[4])

- Работа сети оценивается по медианным угловым разрешениям



Архитектура CNN

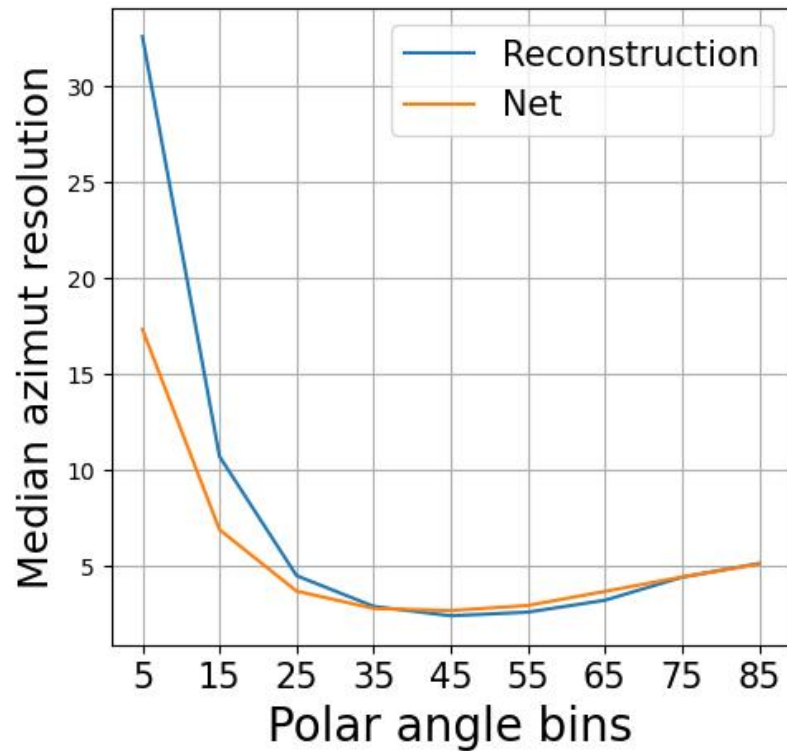
[3] arxiv.org/abs/1512.03385

[4] arxiv.org/abs/1801.07829

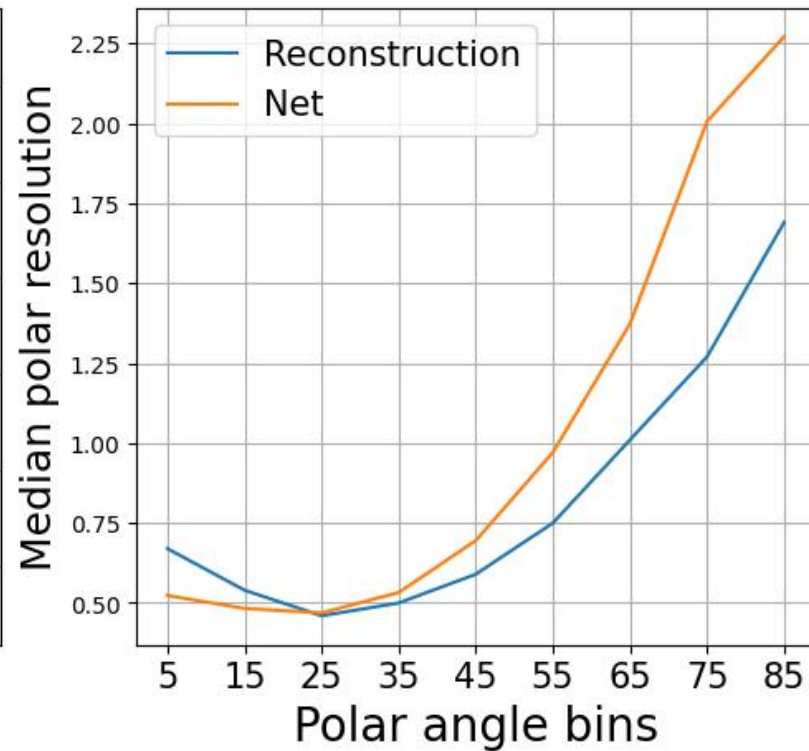
Нейтрино : Угловые разрешения

GCN

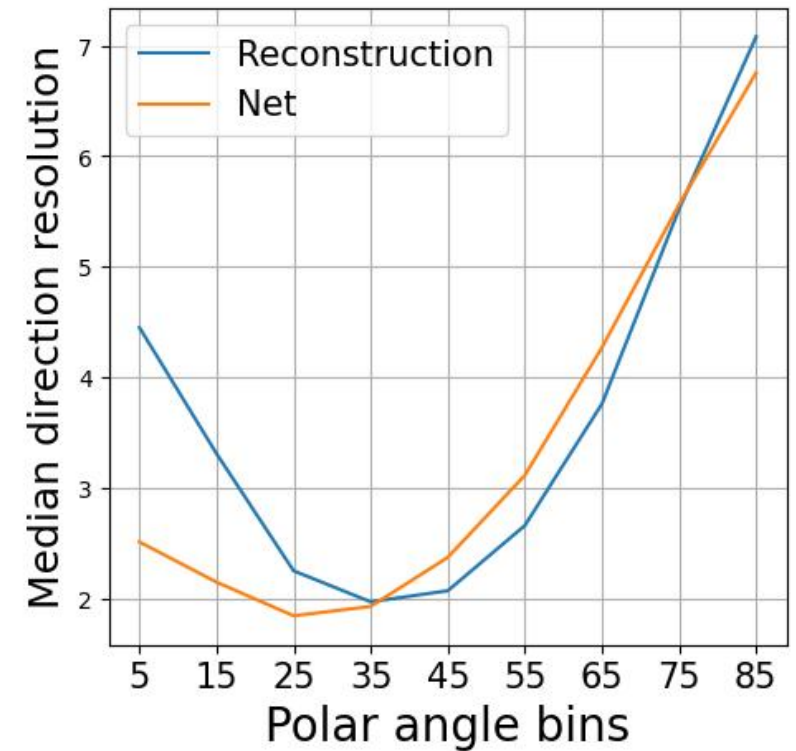
Azimuth resolution



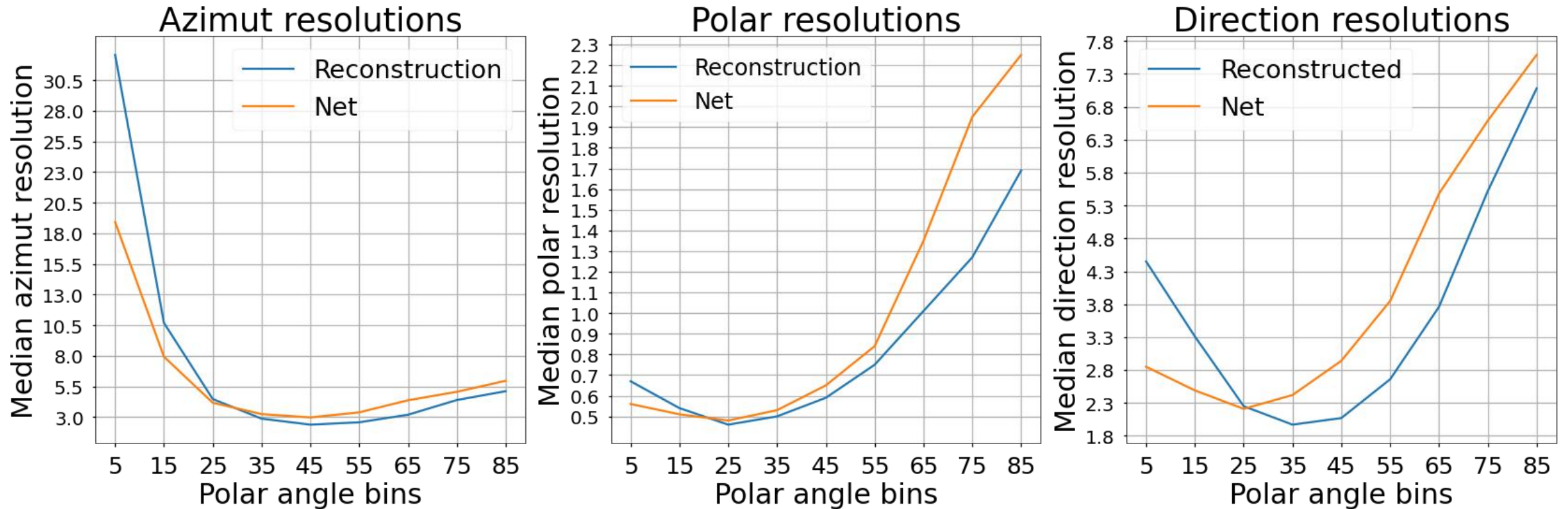
Polar resolution



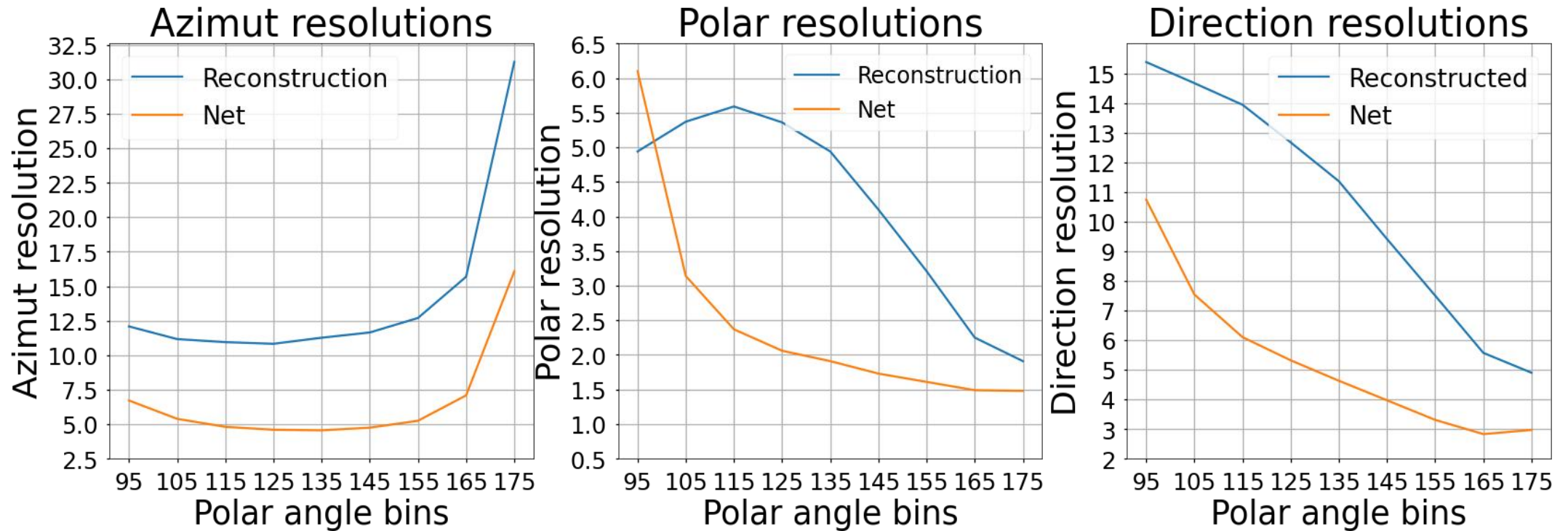
Direction resolution



Нейтрино : Угловые разрешения CNN

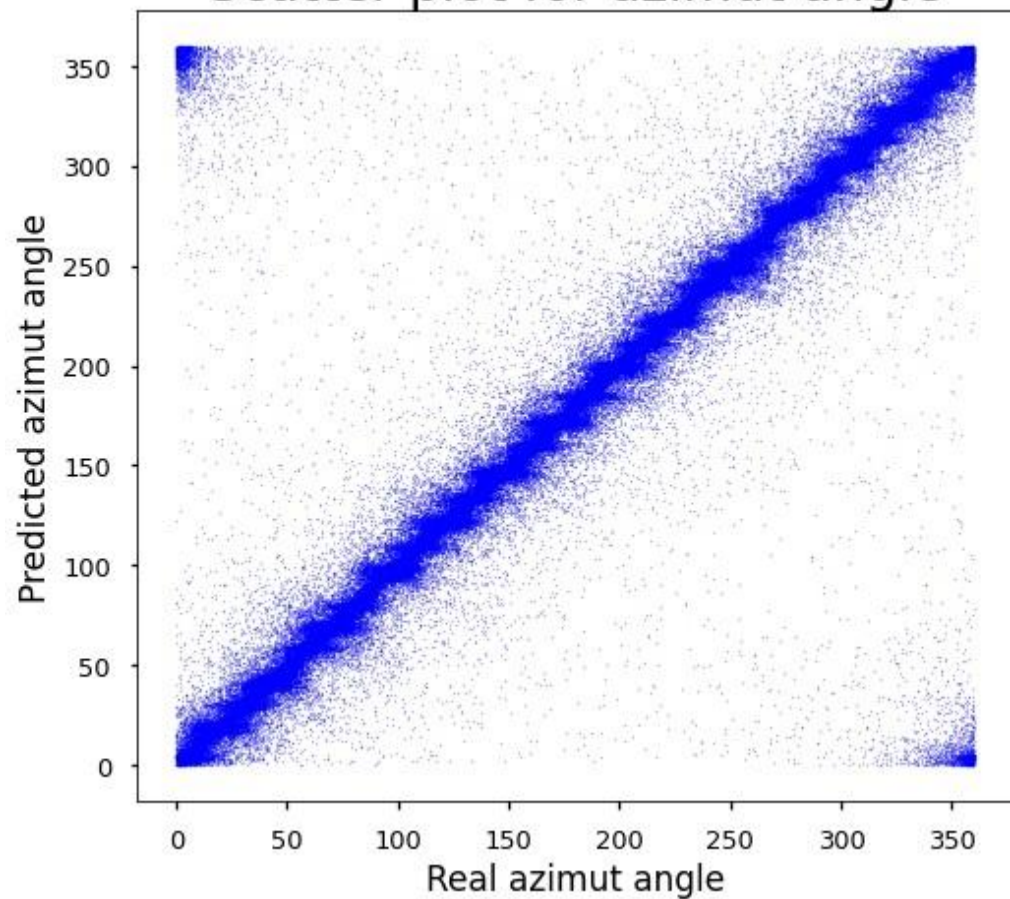


Мюоны : Угловые разрешения

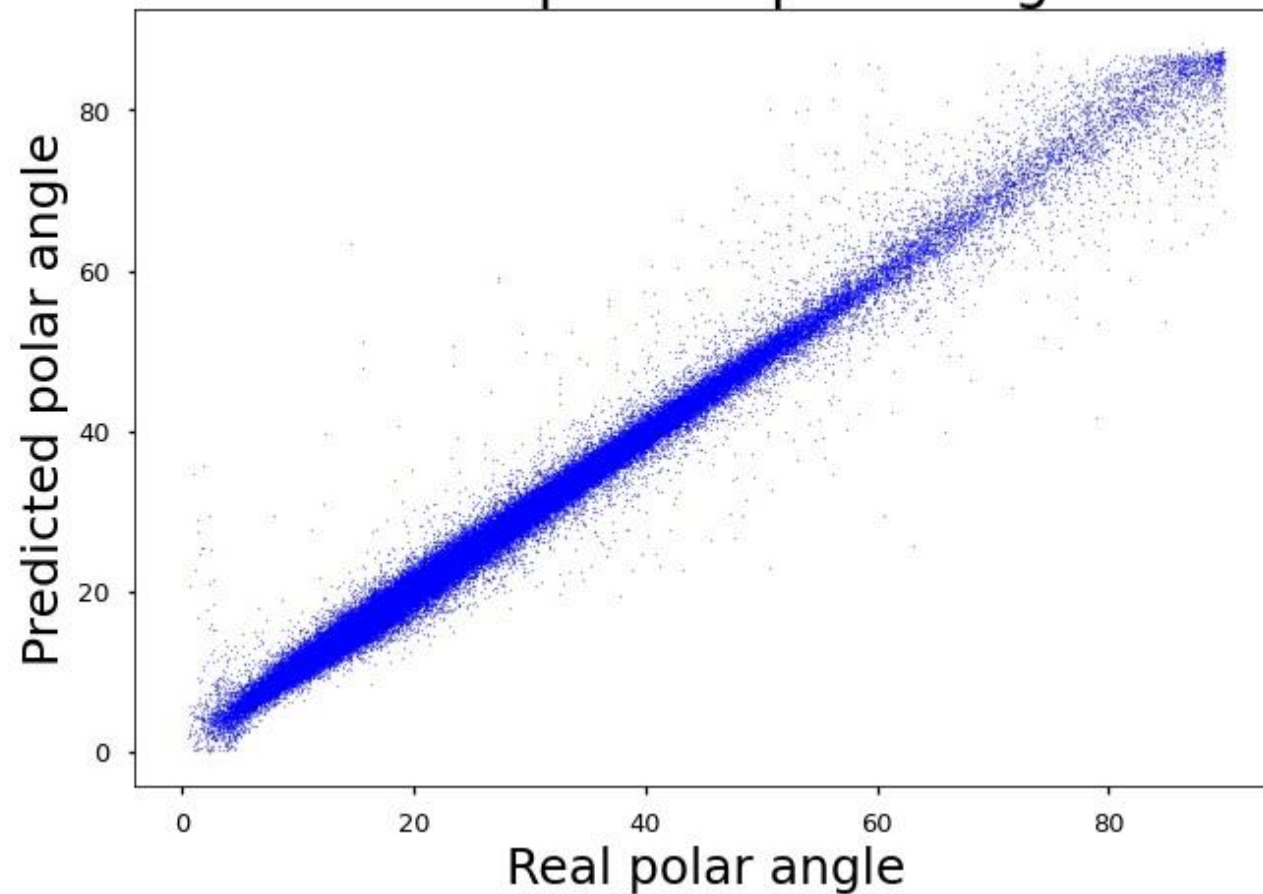


Нейтрино: Восстановленные углы

Scatter plot for azimuth angle



Scatter plot for polar angle



Мюоны: Восстановленные углы

